

- |   |   |     |
|---|---|-----|
| 上 | 1 | 数学  |
|   | 2 | 力学  |
|   | 3 | 电磁学 |
| 下 | 4 | 热学  |
|   | 5 | 光学  |
|   | 6 | 原子  |
|   | 7 | 相对论 |
|   | 8 | 总结  |

如有遗失,烦请联系:

☐/☐

不胜感激!

△ 积分

一. 基础公式利用 积化和差, 和差化积, 倍角半角, 欧拉公式. 12.77

二. 分段, 奇偶性  $\Delta$  如  $\int \frac{x}{(x+b)^2} dx$ .

三. 第一类换元, 有理分式 —— 配凑  $\uparrow$  i 解=0根, 平移, 三分层.

3), 4), 5)  $\frac{P}{Q} = \frac{P_1}{Q_1} + \frac{P_2}{Q_2}$  ii 待定系数

iii 极限取值, 代入取值. 以及一些独特的配凑, 如  $d(xu^2)$ ,  $d(x \pm \frac{a}{x})$ ,  $A(\text{奇母}) + B(\text{偶母})$ , ...

四. 第二类换元 } 三角, 双曲换元 五. 分部 —— 表格法 (反对幂三指)

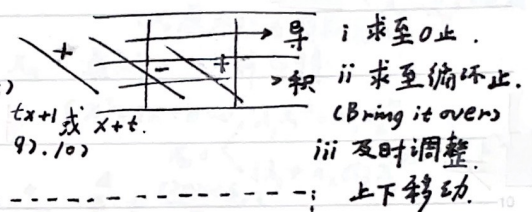
$\left( \begin{aligned} \arctan x' &= \frac{1}{1+x^2} \\ \operatorname{arsh} x' &= \frac{1}{1+x^2} \\ \left(\frac{1}{2} \ln \frac{1+x}{1-x}\right) \end{aligned} \right)$

倒代换

万能代换 27.37.

Euler代换  $R(x, \sqrt{ax^2+bx+c})$

隐函数限制  $\left. \begin{aligned} 6) \rightarrow tx+1 \text{ 或 } x+t. \\ 9), 10) \end{aligned} \right\}$



六. 特殊方法 } 含参 11), 12)

级数 13), 14)

高重  $\int e^{-x^2} dx, \sum \frac{1}{n^2} = \frac{\pi^2}{6}$

留数 15), 16)

零, 记背

i  $\int \frac{dx}{x^2-a^2} = \frac{1}{2a} \ln \left| \frac{x-a}{x+a} \right|$

$\int \frac{dx}{x^2+a^2} = \frac{1}{a} \arctan \frac{x}{a}$   $\left\{ \begin{aligned} \sec \theta &= \ln |\tan(\frac{\pi}{4} + \frac{\theta}{2})| \\ \csc \theta &= \ln |\tan \frac{\theta}{2}| \end{aligned} \right.$

$\int \frac{dx}{\sqrt{a^2-x^2}} = \arcsin \frac{x}{a}$   $\left\{ \begin{aligned} \csc \theta &= \ln |\csc \theta - \cot \theta| \\ \sec \theta &= \ln |\sec \theta + \tan \theta| \end{aligned} \right.$

$\int \frac{dx}{\sqrt{x^2-a^2}} = \operatorname{arsh} \frac{x}{a}$   $\left\{ \begin{aligned} \sec \theta &= \ln |\sec \theta + \tan \theta| \\ \tan \theta &= \ln |\sec \theta + \tan \theta| \end{aligned} \right.$

$\int \frac{dx}{\sqrt{x^2+a^2}} = \operatorname{arsh}^{-1}(\sec \theta)$

$\int \frac{dx}{a+bx^2} = \frac{2}{\sqrt{a^2-b^2}} \arctan \left( \frac{\sqrt{a-b} \tan \frac{x}{2}}{a+b} \right)$   $a^2 > b^2$

$\int \frac{x dx}{\sqrt{c+bx-ax^2}} = \frac{1}{\sqrt{b^2-a^2}} \ln \left| \frac{\tan \frac{x}{2} + \sqrt{\frac{b+a}{b-a}}}{\tan \frac{x}{2} - \sqrt{\frac{b+a}{b-a}}} \right|$   $a^2 < b^2$

$= -\frac{1}{a} \sqrt{\dots} + \frac{b}{2a^2} \arcsin \frac{2ax-b}{\sqrt{a}}$

题目举例 (知书上有答案)

1)  $\int_0^{\frac{\pi}{2}} \frac{\sin^3 x}{\tan \frac{3x}{2}} dx$  2)  $\int \frac{\sin x}{1+\sin x+\cos x} dx$

3)  $\int \frac{\sin x}{\sqrt{2+\sin x+\cos x}} dx$

4)  $\int \frac{dx}{1+x^6}$  5)  $\int \frac{1+x^2}{1+x^4} dx$

6)  $y(x-y)^2=x$  时  $\int \frac{1}{x-3y} dx$

7)  $\int \sqrt{2+\sqrt{2+\sqrt{\dots+2+x}}} dx$   $n$  个  $\int \frac{dx}{(1+x)\sqrt{1-x-x^2}}$  8)

9)  $\int \frac{1-\sqrt{1+x+x^2}}{x\sqrt{1+x+x^2}} dx$  10)  $\int \sqrt{e^{2x}+4e^x-1} dx$

11)  $\int \frac{x \cos x}{(1+\sin x)^2} dx$  12)  $\int_0^1 \frac{x^5-1}{\ln x} dx$

13)  $\int_0^{\infty} \frac{e^x}{x^2-1} dx$  14)  $\int_0^1 \frac{\ln x}{x-1} dx$

15)  $\int_0^{\infty} \frac{\cos mx}{x^2+a^2} dx$  16)  $\int_0^{\infty} \sin(x^2) dx$

10个要点:

题目中需要积分却较难积分时 (如 Euler 型), 应先检查列式; 再看看是否有同类项未合并等; 最后, 可以先积一般式 (有有时候 no!) 再代, 会清晰一点...

$\frac{1}{ax^2+bx+c}$  积分如果是  $\frac{1}{a(x-x_1)(x-x_2)}$  即  $(x-0)$  两

因式相乘型的是比较好的, 有  $\int \frac{dx}{(x-x_1)(x-x_2)}$  (或部分分式亦可)

$\frac{1}{ax^2+bx+c} \rightarrow \frac{1}{x_2-x_1} \ln \frac{x-x_2}{x-x_1}$

$\frac{1}{\sqrt{1-x^2}} \rightarrow \arcsin$   $\frac{1}{\sqrt{1+x^2}} \rightarrow \operatorname{arsh}$   $\frac{1}{\sqrt{x^2-1}} \rightarrow \operatorname{arch}$   $\frac{1}{1+x^2} \rightarrow \arctan$   $\frac{1}{1-x^2} \rightarrow \operatorname{arsh}$   
 $(\ln(x+\sqrt{x^2+1}))$   $(\ln(x+\sqrt{x^2-1}))$   $(\frac{1}{2} \ln \frac{1+x}{1-x})$

### △ 数学: 泛

· 绝热方程微分式  $\frac{dA}{A} + \lambda \frac{dB}{B} = 0 \Rightarrow AB^\lambda = \text{const.}$

· 微扰论求解方程<sup>(1)</sup>  $0 = A_0 + A_1 S + A_2 k S^2 + A_3 k^2 S^3 + \dots$  (一般由展开得)  
(分级求解) 对  $k \ll 1$  展开  $S = S^{(0)} + S^{(1)} + \dots$  [ $S^{(i)}$  小量阶数] (其实算是“=”中物理模型意义的逐级拆分)  
其中  $0 = A_0 + A_1 S^{(0)}$ ,  $0 = A_1 S^{(1)} + A_2 k S^{(0)2}$ , ...

· 遇到此类  $y = \frac{0y}{0y+0x}$ , 可以倒过来  $x \leftrightarrow y$ , 变成  $\frac{dx}{dy}$  的一阶微分方程解。

· 数列通项常见:  $\textcircled{1} x_{n+1} = \frac{ax_n+b}{cx_n+d}$  设为  $x_0 = \frac{ax_0+b}{cx_0+d}$  解得  $\begin{cases} x_0 = x_1, x_2: \{ \frac{x_n - x_1}{x_n - x_2} \} \text{等比} \\ x_0 \text{重根: } \{ \frac{1}{x_n - x_0} \} \text{等差} \end{cases}$

▷ 很可能  $x_1, x_2$  是倒数量关系  $x_1 = \frac{1}{x_2}$ , 化简上会好很多。  
 $\textcircled{2}$  (-阶通推同理)  $x_{n+2} + ax_{n+1} + bx_n = q$ .  $x_n = \text{通解} + \text{特解}$  (特解)

· 求导结论  $(\sqrt{ax^2+bx+c})' = -\frac{\Delta}{4\sqrt{\dots}}$  ( $x^2+ax+b=0, \lambda_1 x^n + \lambda_2 x^n$ )  
(则  $(\sqrt{ax^2+b})' = \frac{ab}{\sqrt{\dots}}$ )  $(\frac{1}{\sqrt{ax^2+bx+c}})' = \frac{\Delta}{4} + \frac{(2ax+b)}{2}$   $x_n = (\lambda_1 + \lambda_2 n) x_0^n$ )

· 极坐标等非直角坐标下张量具有形式不一样! 例如:  $\frac{\partial E_r}{\partial r}, \frac{\partial E_\theta}{\partial r}, \frac{\partial E_r}{\partial \theta}, \frac{\partial E_\theta}{\partial \theta}$  不要代  $\vec{F} = \vec{p} \cdot \nabla E$ , 设有  $(\frac{\partial E_r}{\partial r}, \frac{\partial E_\theta}{\partial r}, \frac{\partial E_r}{\partial \theta}, \frac{\partial E_\theta}{\partial \theta})$  X! 请用  $\vec{v} = \vec{p} \cdot \vec{E}$  求导做。

· 极坐标曲线  $r(\varphi)$  求面积注意可以积  $\frac{1}{2} \int r^2 d\varphi$ .

· 最值相关不等式:  $\sqrt{\frac{\sum a^2}{n}} \geq \frac{\sum a}{n} \geq \sqrt[n]{\prod a} \geq \frac{n}{\sum \frac{1}{a}}$  例如相对论磁碰撞。

· 微扰论求解体系(2) 通常模型里运动受到一较小的扰动影响运动情况, 而此扰动量很小(题应说“只保留到...一阶项”), 无扰动情况得出非常快, 故可以将物理量运动变化情况  $S$  拆分为  $S^0 + S^1$ ,  $S^0$  为熟知,  $S^1$  为一阶修正项, 为核心, 只要求一阶  $S^0$  (-阶) +  $S^1$  (零阶), 按程度近似, 方程线性拆分。

图举例:  $m_0 \rightarrow m_0$   $\rho$  尘埃吸附的抛体. ( $\rho \ll m$ )  $m\vec{g} = \frac{d(m\vec{v})}{dt}$

$\textcircled{1} m = m_0 + m'(t)$ ,  $\vec{v} = \vec{v}_0 + \vec{v}'(t)$ ,  $\vec{v}_0$  为斜抛, 相乘只能是  $0 \cdot 1$ ,  $1 \cdot 1$  及以上舍去

$\textcircled{2}$  代入运动方程  $m_0 d\vec{v}' = -\vec{v}_0 dm'$

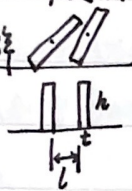
拆分为量式,  $dm' \sim dt$  类似代入  $dm' = \rho \pi r^2 \sqrt{v_x^2 + v_y^2} dt$

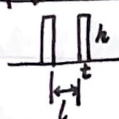
·  $\frac{dI}{ds} = (\frac{d\theta}{ds})^2 I$  不能直接除过去变成  $\frac{dI}{d\theta} = I$ ! 凡是  $i' \Rightarrow i$ ,  $0'$  取  $v_0 \cos$ , (-阶除外) 变元都应从变者先实鸟起  $d(\frac{dI}{d\theta} \cdot \frac{d\theta}{ds}) = \frac{dI}{ds}$

### △ 小量近似

> Check:  $\frac{e^x + e^{-x}}{e^x - e^{-x}} - \frac{1}{x}$  一阶近似?

> 几何等具体题目近似:

i 多楔形滑移  求翻倒时最大重力势能:



$l, t \ll h$ .

$$E_p = \frac{mgh}{2\cos\varphi} (\cos\alpha + \cos\beta)$$

触碰条件:

$$l+t - \frac{h}{\cos\varphi} \sin\beta - h \sin(\alpha+\varphi) = \tan(\beta+\varphi) \left( \frac{h}{\cos\varphi} \cos\beta - h \cos(\alpha+\varphi) \right)$$

$$\text{一阶} \Rightarrow \beta - \alpha + \frac{t}{h} = 0$$

\* 总结:

角小则小, 一阶先上.

代入  $E_p$  初始和  $\frac{t}{h}$  给出一个定值, 剩下的  $\cos\alpha + \frac{t}{h}$  可取 1.

尽量设小量角, 正宗表达式最后近似, 应先用条件近似给出关系.

ii

> 计算小量 (Casio. from K.G.):

### △ φ 展开

因为基本都在电势当中, 于是 φ 展开指代常带有余弦定理, 展开复杂且不止一阶的式子.

首先觉得需要记忆一些快速化的结论:  $(\Delta^2 + \square^2 - 2\Delta\square\cos\theta)^{-\frac{1}{2}}$ , Δ 为小量:

其他的就不如死推,  $\frac{1}{\square} \left[ 1 + \frac{\Delta}{\square} \cos\theta + \frac{1}{2} \frac{\Delta^2}{\square^2} (3\cos^2\theta - 1) + \frac{1}{2} \frac{\Delta^3}{\square^3} \cos\theta (5\cos^2\theta - 3) \right]$

只要草稿条理清晰应该还  $(\Delta^2 + \square^2 - 2\Delta\square\cos\theta)^{\frac{1}{2}}$ , Δ 为小量:

是很快的,  $\square \left[ 1 - \frac{\Delta}{\square} \cos\theta + \frac{1}{2} \frac{\Delta^2}{\square^2} \sin^2\theta + \frac{1}{2} \frac{\Delta^3}{\square^3} \cos\theta \sin^2\theta \right]$

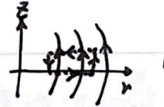
注意, 不是所有题目都需要展开做. 平衡处 (经常 φ 需要至 II 阶正 I 为 0, 不要作无用功)

这时或许可以利用高斯定理求 E 的 I:  $\oint \vec{E} \cdot d\vec{r} = -\frac{1}{\epsilon_0} \int \rho dV$ . 由于 I 近似, 就是  $\frac{E_r}{r}$  正比.

(如果对称性很好, 如柱坐标 r=处) 方便得  $F = -kr$  之 k.

★ 顺带总结一下常见求近处异向场强的情形:

i   $B_r = -\frac{\mu_0}{2} \frac{\partial B_z}{\partial z}$   
喇叭形 (即上式)

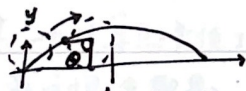
ii   $B_{r, \text{cyl}} = z \cdot \frac{\partial B_z}{\partial r}$   
桶形

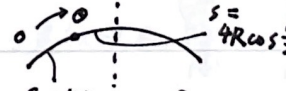
(注意它对应的简振是“大回旋”, “小回旋”是当地 B 下画圈, 应对是 μ 守恒 + (v<sub>⊥</sub><sup>2</sup> + v<sub>∥</sub><sup>2</sup>) 守恒)

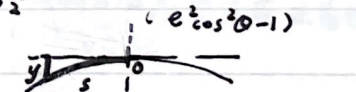
### △ 平面几何

极坐标下, 以双曲线中原点为极点, 对称轴 (x 轴) 为极轴,  $r = \frac{b}{\sqrt{\frac{e^2}{2} \cos 2\theta + \frac{e^2}{2} - 1}}$

摆线相关:

  $A = 3\pi R^2$   
 $P = 4R \sin \frac{\theta}{2}$

  $s = 4R \cos \frac{\theta}{2}$   
 $S = 4R(1 - \cos \frac{\theta}{2})$

  $y = \frac{s^2}{8R}$   
(y & s<sup>2</sup> → T = 2π √(2R/y))

常见微分形式  $y' = \sqrt{\frac{2R-y}{y}}$  ( $y'' = \frac{0}{y} + \dots$ , 或记  $1+y'^2 = \frac{2R}{y}$ )

圆锥曲线的曲率半径: 椭圆  $\frac{x^2}{A^2} + \frac{y^2}{B^2} = 1 \rightarrow \rho = \frac{(A^2 y^2 + B^4 x^2)^{\frac{3}{2}}}{A^4 B^4}$   
双曲线  $\frac{x^2}{A^2} - \frac{y^2}{B^2} = 1$   
抛物线  $y^2 = 2px \rightarrow \rho = \frac{(p^2 + y^2)^{\frac{3}{2}}}{p^2}$

### △ 场线 / 包络线

> 求场线最主要的一种方法就是方向微元。

积为时常数由“过...点的场线”确定。

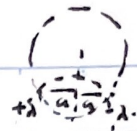
提示：可能需要凌空微分(导数)。



$$B_n = \frac{\mu_0 m}{4\pi r^2} \sin\theta$$

$$B_\theta = \frac{\mu_0 m}{4\pi r^2} \cos\theta$$

$$\frac{dn}{rd\theta} = \frac{B_n}{B_\theta}$$



$$E_x = \frac{-1}{2\pi\epsilon_0} \left( \frac{x+a}{y^2+(x+a)^2} - \frac{x-a}{y^2+(x-a)^2} \right)$$

$$E_y = \frac{1}{2\pi\epsilon_0} \left( \frac{y}{y^2+(x+a)^2} - \frac{y}{y^2+(x-a)^2} \right)$$

$$\frac{dy}{dx} = \frac{E_y}{E_x}$$

> 线族包络：

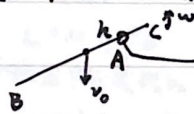
$$\begin{cases} f(x,y,0) = 0 \\ \frac{df}{d0} = 0 \end{cases}$$

消去参量0得到。  
(只有-1,0值,即为界线)

抛刀包络：刀上点理论上可以把每个位置写成  $f(x,y,0) = 0$  但它并不是全体参与,只是左右端点(主要)轨迹的组合,相当于扫过面积,无法也不能使用  $\frac{df}{d0} = 0$ 。这种需要另寻非暴力的方法。

这一类是比较机异性的

(画好图将有极大帮助)

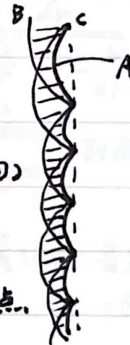


找到线状物(如)上速度沿刀向点,其为包络线上点。

(每个时刻A都不同)

B, C 摆线 A 类似的有一个参量函数

(即利为扫面)



①  $\oint \mathbf{A} \cdot d\mathbf{l} = \iint \mathbf{B} \cdot d\mathbf{S}$  举例:

$\mathbf{A} \propto \ln r$

$\ln \frac{r}{r_0} = \text{const.} (1, 2)$

$\mathbf{A} \propto \frac{\sin\theta}{r^2}$

$2\pi r \sin\theta A = \text{const.}$

此例亦可应用互感互易性构造。

### △ 立体几何

因为通常是某一个计算点卡住了人,于是就以点去式呈现好了(所有数学模块都是)

球坐标下夹角:



$$\cos\delta = \cos\theta\cos\theta' + \sin\theta\sin\theta'\cos(\varphi-\varphi')$$

总之:考试时,点乘解决立体夹角。

△ 天体轨道

(答案爱用)

★ 初态 → E, L

到  $r_{min}, r_{max}$  处列方程

a, b, c, e.  $r = \frac{p}{1 - e \cos \theta}$  → 求解

$E = -\frac{GMm}{2a}$   $L = mb\sqrt{\frac{GM}{a}}$

$p = \frac{L^2}{GMm^2}$   $e^2 = 1 + \frac{2EL^2}{GM^2m^3}$

$p = \frac{b^2}{a}$   $e^2 = 1 - \frac{b^2}{a^2}$

> 洲际导弹:

i) 建极坐标时注意是  $r = \frac{p}{1 - e \cos \theta}$

不要发到地球里去了 (r < 0)

ii) 结论:  $v_0^2 < 2gR$ . 射程要讨论  $v_0^2 \sim gR$

$v_0^2 < gR$   $\cos \frac{\theta_m}{2} > 0$  有-极值点.  
 $v_0^2 > gR$   $\theta_m$  可达  $\pi$ .

> 计算在轨时间:

① 掠面 (不推荐)  $\left\{ \begin{array}{l} \text{积分出面积 } \int \sqrt{a^2 - x^2} dx \text{ 形} \\ \text{拉伸变换 } y \rightarrow \frac{b}{a}y', \text{ 求出法向. } \end{array} \right.$

$s' = s \cdot \frac{a}{b}$

② 直积  $\left\{ \begin{array}{l} \text{积 } r \\ \text{积 } \theta \end{array} \right.$

$t = \frac{s}{\frac{1}{2}Rv_0 \sin \theta_0}$

D: 注意掠面速度  $\frac{L}{2m}$ .

$L = m r_0^2 \dot{\theta}$   
用极坐标式代入

$t = \frac{mp^2}{L} \int \frac{d\theta}{(1 + e \cos \theta)^2}$

$\begin{cases} L = m r^2 \dot{\phi} \\ E = \dots (r^2 \dot{\phi}^2) \dots \end{cases}$

消  $\phi$  得  $r = f(r)$ .

$\int \frac{x dx}{\sqrt{a^2 + bx - cx^2}}$  形

(题目多半给了)

$t = \sqrt{\frac{R^3}{GM}} \int \frac{dr}{\sqrt{\frac{2}{r} - \frac{1}{a} - \frac{b^2}{ar^2}}}$

△ 提醒: i) 积分时注意象限问题, 尤其是 r.



判断各式

观察 r 开根时正负, r? < 0?

ii) 积 r 时, 远近地点, 积分时要减一点点.

代个近/远地点的时间比较

iii) 中间结果保留位数要多! (>5) 否则会偏差很大, 甚至根号内为负了. Casio: "数学错误!"

(检查时注意这种原因)

iv)  $T_{AB} \neq \frac{T_0}{2}$  !! 看看面积:



## 有心力场、比相对论

主要推导大致两条线，都是角动量守恒，再加上要么径向牛二，要么能量守恒。

L 守恒将  $\dot{\theta}$  换为  $(u, \frac{du}{d\theta})$ ，从而  $r$  变为  $(u, \frac{du}{d\theta})$ 。（即  $\frac{d}{dt}$  换为  $\frac{d}{d\theta} \cdot \dot{\theta}$ ）

> 非相对论: ①  $\frac{F}{m} = \ddot{r} - r\dot{\theta}^2 \xrightarrow{L} \ddot{r} = \frac{L}{mr^2} \frac{d}{d\theta} \left( \frac{L}{mr^2} \cdot \frac{dr}{d\theta} \right) \xrightarrow{u} F = -\frac{L^2 u^2}{m} \left( \frac{d^2 u}{d\theta^2} + u \right)$

二次、三次反比力都很好解。二次反比  $\frac{d^2 u}{d\theta^2} + u = \frac{GMm^2}{L^2} = \frac{1}{p}$ 。

不过三次反比  $\omega_p = \sqrt{1+3} \omega_0$  抗不了微扰， $u \sim \sin(\omega_0 \theta + \theta_0)$ ， $\sin$  来一个 0 就送到  $\infty$  去了。

②  $E = \frac{1}{2} m (\dot{r}^2 + r^2 \dot{\theta}^2) - GMmu \xrightarrow{L} E + \frac{GM^2 m^3}{2L^2} = \frac{L^2}{2m} \left( \frac{du}{d\theta} \right)^2 + \frac{L^2}{2m} \left( u - \frac{GMm^2}{L^2} \right)^2$

$\triangleright E = (\dots) \left( \frac{du}{d\theta} \right)^2 + (\dots) u^2$  基本简谐振形

由于给出了 Const 值的，振幅  $E$  可以不确定（ $r_p$  却得不到）

> 相对论: ①  $ku^2 \hat{r} = \frac{d}{dt} (p_r \hat{r} + p_\theta \hat{\theta})$  取出  $\hat{r}$  向  $ku^2 = \frac{dp_r}{dt} - p_\theta \cdot \dot{\theta} = \dot{\theta} \left( \frac{dp_r}{d\theta} - p_\theta \right)$   
 (k 为如  $\frac{GMm}{r^2}$  等) (即 L 守恒)

$\frac{8.85 \times 10^{-12} \text{ C}^2}{4\pi \times 9}$  等)

$\frac{d^2 u}{d\theta^2} + \left(1 - \frac{k^2}{L^2 c^2}\right) u \xleftarrow{m} \frac{d^2 u}{d\theta^2} + u = -\frac{km}{L^2} \xleftarrow{L}$

由 E 表示 (惯用手段)

$E = ku + mc^2$

如电子绕核进动  $\Delta\varphi = 2\pi \left( \frac{1}{\sqrt{1 - \frac{k^2}{L^2 c^2}}} - 1 \right)$

②  $(E + ku)^2 = m^2 c^4 + c^2 (p_r^2 + p_\theta^2) \xrightarrow{L} (E + ku)^2 = m^2 c^4 + L^2 c^2 \left( u^2 + \left( \frac{du}{d\theta} \right)^2 \right)$

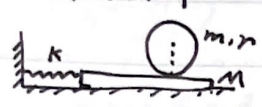
(此处 m 为静)

基本形即  $\left( \frac{du}{d\theta} \right)^2 + \left(1 - \frac{k^2}{L^2 c^2}\right) \left( u - \frac{Ek}{L^2 c^2 - k^2} \right)^2$   
 $= \frac{E^2 k^2}{L^2 c^2 (L^2 c^2 - k^2)} + \frac{E^2 - m^2 c^4}{L^2 c^2}$

### △ 振动过程的解析与讨论

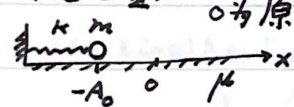
除了求 $\omega, T$ 的题以外, 还有需要详尽分析衔接时刻及带有 $n$ 性质的讨论的运动过程图景的题. 通常涉及“衔接时刻的位相”、“平衡位置的摇摆”.

Ex 滑动判断:  $m=2\text{kg}$  圆筒,  $M=1\text{kg}$  平板,  $k=100\text{N/m}$  弹簧. 水平面光滑, 板筒间 $\mu=0.5$ . 板足够长. 现一起右移伸长 $0.3\text{m}$ 后释放. 求至板第一次到达最左端用时. T3C3



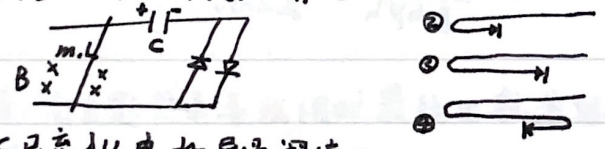
- 滑与不滑  $\rightarrow$  同速?  $v \sim v_0 - \omega r$  i) 无滑时  $\dots$  (动力学方程)  $\Rightarrow f = 50x, \Omega = 5\sqrt{2}$ .
- 维持同速  $\rightarrow f_{\text{维}} \leq f_m$ . 滑动时  $\Omega = 10, (f = f_m = 10)$
- ii) 物理过程: 初  $f = 15 > f_m$ . 写出滑动  $x, v, v_0, \omega(t)$ .  $t_1$
- 令  $v = v_0 - \omega r$ , 判  $f \leq f_m$ . 则不滑. 写出  $x, v(t)$ .  $t_2$
- 令  $|f| \geq f_m$  滑动. 写出  $x, v(t)$  至  $x_m$ .  $t_3$

Ex 讨论位置:  $0$  为原长,  $-A_0$  处释放. 小球只能完成  $n$  次往返 (向右过  $0$  再向左过  $0$  为 1 次) 求至停止经过路程. T1C2



□ 注意 有  $\textcircled{1}, \textcircled{2}, \textcircled{3}, \textcircled{4}$  种情况, 讨论  $A_0$ .

▷ 电学里也可以有类似情况:



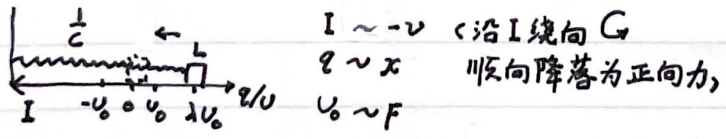
$C$  已充  $U_0$  电, 击穿阈值  $U_0$ . 无电阻, 杆自感  $L$ .

I. 动杆的动生电动势具有电容性质.

可以认为能量存到了速度里.  $C' = \frac{m}{B^2 l^2}$ .

即串联  $\frac{1}{C_{\text{总}}} = \frac{1}{C} + \frac{B^2 l^2}{m}$ . (前  $\frac{1}{2} m v^2 = \frac{1}{2} \frac{q^2}{C}$ )

II. 可以画力电类比图. 开关相当于摩擦力.



\* 但这只是辅助, 还是正经与最好. 这种分析很不全面.

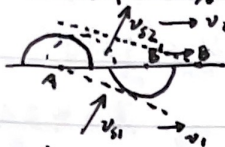
## △ 折射定律, 光力类比

惠更斯原理是本源.



$$\frac{v}{\sin \theta} = \text{const}$$

光学中  $v \propto \frac{1}{n}$ , 于是有折射定律. 下面推导运动介质中的折射定律.



设  $AB = x$  则  $\sin \theta_1 = \frac{v_1 t}{x - v_1 t}$   
 取两束光到达  
 时差  $t$ ,  $\sin \theta_2 = \frac{v_2 t}{x - v_2 t}$

$$\Rightarrow \frac{\sin \theta_2}{\sin \theta_1} = \frac{v_2 + v_1 \sin \theta_1}{v_1 + v_1 \sin \theta_1}$$

看到这里还是 " $\frac{v}{\sin \theta} = \text{const}$ " 的形式.

只有法向受力

而光力类比只是人为的建立一个界面受力(势场)的模型, 形式的对应光几何传播的路径, 并没有体现本质, 但可以很好地帮助想象可能光路 ( $E_p \propto -n^2$ ) 考试不建议使用.

> 最速降线:  $n = \frac{c}{\sqrt{2gy}}$ ,  $\frac{\sin \theta}{\sqrt{y}} = \text{const}$ . 积分为  $\dots$

实际计算基本不会遇到, 也  
完全可避开

Ex 风中传声:

$$v = v_0 + ky^2, \quad \frac{ky^2}{v_0} \ll 1.$$

声速为  $v_0$ ,  $x=0$  的地面处

发出一束声波, 与  $y$  轴夹角  $\theta_0$ . 求传播的轨迹.

□ 代入上面推导的式子得

$$\frac{dy}{dx} = \sqrt{\frac{1}{\sin^2 \theta_0} \left(1 - \frac{k \sin^2 \theta_0 y^2}{v_0^2}\right) - 1}$$

$$\Rightarrow y = \cos \theta_0 \sqrt{\frac{v_0}{2k \sin \theta_0}} \cdot \sin \sqrt{\frac{2k}{v_0 \sin \theta_0}} x$$

▷ 注意近似不要过份!

$$\sqrt{\cot^2 \theta_0 - \frac{2ky^2}{v_0 \sin \theta_0}} = dx \text{ 为止.}$$

三角函数  
( $\cot \theta_0$ ) 可以趋  
向于 0, 小量  
也不给近似.

▷ 其实开根  $\frac{dy}{dx} = \pm \dots$

有一部分题要求寻找用时最短的轨道路径, 我们通常会选择光力类比, 即说  $t = \int_A^B \frac{dl}{v} = \dots$  与几光费马原理有一致形式, 引入折射率分布  $n_{(y)} = \frac{1}{v_{(y)}}$ , 再利用诸如  $n_1 r \sin \theta_1 = n_2 r \sin \theta_2 = C$  等折射定律, 再积出轨道.

② (不推荐) 列出理力形表达式  $t = \int_A^B f(r, v, \theta) d\theta$ , 代入  $L$  方程, 解之. 不过实际反而比 ① 慢. ① 的折射定律就能直接列出.

### ▽ n 维球

① 取为半径单位. ( $V = V_n \cdot r^n$ ) 初项  $V_0 = 1, V_1 = 2$ .

理解:  $x^2 + y^2 + z^2 = 1, x^2 + y^2 = (\sqrt{1-z^2})^2$ . 对于  $z$  处是一个  $r = \sqrt{1-z^2}$  的 2 维球.

$$V_n = \int_{-1}^1 V_{n-1} \cdot (1-t^2)^{\frac{n-1}{2}} dt \xrightarrow{\text{令 } t = \sin \theta} V_n = V_{n-1} \cdot \int_{-\frac{\pi}{2}}^{\frac{\pi}{2}} \cos^n \theta d\theta$$

由点火公式

$$I_n = \int_{-\frac{\pi}{2}}^{\frac{\pi}{2}} \sin^n x dx = \int_{-\frac{\pi}{2}}^{\frac{\pi}{2}} \cos^n x dx$$

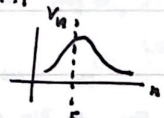
$$= \begin{cases} \frac{\pi}{2} \cdot \frac{(n-1)!!}{n!!} & n \text{ 偶} \\ \frac{(n-1)!!}{n!!} & n \text{ 奇} \end{cases}$$

递推得到

$$V_n = \begin{cases} \left(\frac{\pi}{2}\right)^{\frac{n}{2}} \cdot \frac{1}{n!!} \cdot 2^n = \frac{(2\pi)^{\frac{n}{2}}}{n!!} & n \text{ 偶} \\ \dots = \frac{2(2\pi)^{\frac{n-1}{2}}}{n!!} & n \text{ 奇} \end{cases}$$

可以合并为

$$V_n = \frac{\pi^{\frac{n}{2}}}{\left(\frac{n}{2}\right)!} \quad \left( (n-\frac{1}{2})! = \frac{(2n-1)!! \sqrt{\pi}}{2^n} \right)$$

i) 取  $r=1$  时有   $\lim_{n \rightarrow \infty} V_n = 0$   
均在 5 时取到 max

ii) 由展开  $\sum_{m=0}^{\infty} \frac{\pi^m}{m!} = e^\pi$

发现所有偶维单位球体积和为一有限值.

iii)  $S_n$  可由  $V_n$  求导得  $S_n = \frac{n \pi^{\frac{n}{2}}}{\left(\frac{n}{2}\right)!}$  有常用递推:  $S_{n+2} = \frac{2\pi}{n} \cdot S_n$

②

首先有  $\sqrt{\pi} = \int_{-\infty}^{\infty} e^{-x^2} dx$ . 那么  $\pi^{\frac{n}{2}} = \left( \int_{-\infty}^{\infty} e^{-x_i^2} dx_i \right)^n = \int_{-\infty}^{\infty} e^{-\sum x_i^2} dx_1 \dots dx_n$

$$= \int_{-\infty}^{\infty} e^{-r^2} \cdot S_n r^{n-1} dr$$

$$\text{则 } S_n = \frac{\pi^{\frac{n}{2}}}{\int_{-\infty}^{\infty} r^{n-1} dr \cdot e^{-r^2}} = \frac{2\pi^{\frac{n}{2}}}{\int_0^{\infty} (r^2)^{\frac{n-1}{2}} e^{-r^2} dr^2} = \frac{2\pi^{\frac{n}{2}}}{\Gamma\left(\frac{n}{2}\right)} \left( = \frac{n\pi^{\frac{n}{2}}}{\left(\frac{n}{2}\right)!} \right)$$

### ▽ 伽马函数

第一类欧拉积分  $\Gamma(x) = \int_0^{\infty} e^{-t} t^{x-1} dt$

$$\Gamma(1) = 1, \Gamma\left(\frac{1}{2}\right) = \sqrt{\pi}$$

$$\Gamma(x+1) = x! \cdot \Gamma(x+1) = x \Gamma(x)$$

$$\Gamma(x) \Gamma(1-x) = \frac{\pi}{\sin \pi x}$$

$$\Gamma(2x) = \frac{2^{2x-1}}{\sqrt{\pi}} \Gamma(x) \Gamma\left(x+\frac{1}{2}\right) \quad x \text{ 为正整数时}$$

$$\Gamma\left(x+\frac{1}{2}\right) = \frac{(2x-1)!! \sqrt{\pi}}{2^x} = \left(x-\frac{1}{2}\right)!$$

斯特林公式  $\Gamma(x) \sim x^{x-\frac{1}{2}} e^{-x} \sqrt{2\pi}$  粗略  $\Gamma(x) \sim \left(\frac{x}{e}\right)^x \cdot \ln \Gamma(x) \sim x \ln x - x$   
( $x$  很大时)

△ 天体：广义

径向微扰也有可能出现在质物固转的耗子等等一些势的模型中，但用角动量代出  $E_{eff}(r)$  径向方程是普适，统一归结在这里。△ 天体基本的轨道见1中。

> 径向微扰 (→):  $V_{eff}(r_0)$ ,  $\omega = \sqrt{\frac{V_{eff}''(r_0)}{m}}$ ,  $\Omega = \omega - \omega_0$ . 思路上应该没有困难。

注意本质就是  $m(\ddot{r} - r\dot{\theta}^2) = F_r$  和  $m(2\dot{r}\dot{\theta} + r\ddot{\theta}) = F_\theta = 0 \rightarrow L = \text{const}$   
 径向  $F_{eff} = F_r + \frac{L^2}{mr^3}$  等效力  
 有时候不一直是简单的天体  $r^{-2}$  次场，但若是由此式给出左右界， $V''$  给出小振。  
 $E = f(r; r)$  能量常数  
 $V_{eff}(r) (U_{cm} + \frac{L^2}{2mr^2})$  动能  $(\frac{1}{2}mr\dot{\theta}^2)$

> 潮汐锁定：如果是两星体的双星系统，只要抓住总角动量守恒就解决了。

另外一类是考察球上的潮汐，只需与清势能，可能要做适当近似，解出等势面即可。  
 (见“印原开”)

(O)  $V_e + V_{高\omega}$     m    (C)  $V_e + V_m + V_{高\omega}$

> 相修正 > 隆格-楞次矢量  $\vec{B} = m\vec{v} \times \vec{L} - ma\vec{r}$  ( $a = GM/m$ )  
 $\vec{B}$  守恒 ( $\frac{d\vec{B}}{dt} = 0$ ), 指向近日点方向，与常见表式关系： $e = \frac{B}{ma}$ ,  $a = \frac{p}{1-e^2} = \frac{L^2}{m\alpha}$   
 由  $\vec{B} \cdot \vec{r} = Br \cos\theta = -mar + L^2$  得  $r = \frac{L^2}{m\alpha + B\cos\theta}$  (取  $|\vec{B}|^2 = (B^2 + \alpha^2 r^2)$  可得  $mae$ )

① 龙格矢量可以用来解决速度的比值和方向的数学性问题。(让  $\vec{e}$  为 (O))

$\frac{1}{\alpha} \vec{v} \times \vec{L} = \frac{\vec{B}}{ma} + \hat{r} = \vec{e} + \hat{r}$ . ( $\vec{L}$  守恒且与  $\vec{v}$  平面垂直，可以不干扰  $\vec{v}$  在 1, 2 两处的条件)

如：转角  $90^\circ$  ( $\vec{e} + \hat{r}_1) \cdot (\vec{e} + \hat{r}_2) = 0$  速度大小  $\frac{|\vec{v}_1|}{|\vec{v}_2|} = \frac{|\vec{e} + \hat{r}_1|}{|\vec{e} + \hat{r}_2|}$ . 之后转化为高维向量几何。(美尔)

[Ex] 卫星某两处  $\vec{v}$  方向垂直，且大小 1:2. 求轨道离心率最小值。  $\geq e_{min} = \frac{\sqrt{5}}{5}$ .

相修正加了一项势能的修正  $-\frac{\alpha}{r} - \frac{\alpha L^2}{m^2 c^2 r^3}$ .

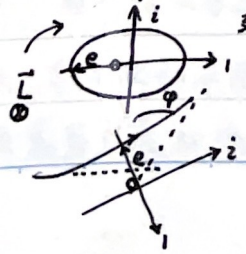
于是  $\frac{d\vec{B}}{dt}$  缓慢变化，近日点进动。  $\frac{d\vec{B}}{dt} = -\frac{3\alpha L^2}{m^2 c^2 r^4} \hat{r} \times \vec{L}$ , 转动  $\omega_B = \frac{|\frac{d\vec{B}}{dt}| \cos\theta}{B}$

一周期进动  $d\phi = \int_0^T \omega_B dt = \int_0^{2\pi} \frac{3\alpha}{m^2 c^2 B L^2} \cdot (m\alpha + B\cos\theta)^2 \cos\theta d\theta = \frac{3\alpha L^3}{m^2 c^2 r^4 B} \cos\theta$   
 $= \frac{6\pi\alpha^2}{c^2 L^2} (= \frac{6\pi GM}{c^2 a(1-e)})$

附：龙格矢量可以看到，椭圆运动的相图

是一个正圆。 ② 总之，龙格矢量  $\vec{B}$  中由于带有  $\vec{p}$  且守恒，可以方便的解决速度及其方向  $\vec{v}$  的问题。

建立实轴正沿近日点指向日方向，如左图。(α吸引为正,  $\vec{F} = -\frac{\alpha}{r^2} \hat{r}$ )  
 $\vec{B} = \vec{p} \times \vec{L} - ma\vec{r} = ma\vec{e}$  最常用的就是联合复平面。  
 $\vec{p} \times \vec{L}$  即  $i p L$  (用到时候注意一下即可)



$\vec{r} = i \frac{\vec{v} L}{\alpha} + \vec{e}$  如  $\sim$  是提行星位置是复数，这样就能很快得  $\alpha, \beta$ .  
 散射  $\vec{r} = \frac{e}{1 - i \frac{v_0 L}{\alpha}}$  散射角  $\varphi = \pi - 2\psi$  (来时反向)

△ 天体：广波 (2)

(带出在磁场中)

> 径向微振 (1): 有些时候能量并不守恒. 有切向力 (如感生电场) 角动量

Ex 磁场 + 涡电微振:

T2C2



内部均匀磁场  $B' = B \cdot (\frac{r}{R})^2$ .  $r$  为某时刻粒子距轴.

粒子最初以线速度  $\frac{qBR}{m}$  在内外筒间匀圆运动

内外筒保持有一电势差  $V = \frac{qB^2R^2}{m} \ln \sqrt{2}$

求径向微振周期.

记忆: 外部  $E \propto \frac{1}{r}$  一般  $E \propto \frac{1}{r}$  有  $M = \text{const}$

i (正则角动量) 切向动力学方程  $\frac{dL}{dt} = E'qr + qBrv$   $E' = Brv$

得  $mvr - qBR^2 = \text{const}$

而一般匀强磁场中 (即使有  $B$ ) 都得  $L = \frac{1}{2}qBR^2$  ( $E, L'$  守恒场)

ii 电场  $E_{in} = \frac{qB^2R^2}{2mr}$

iii 初态  $qv_0B - \frac{q^2BR^2}{2m} = m\frac{v_0^2}{r_0}$   $r_0 = \frac{3}{2}R$

$v_{in} = \frac{qB^2R^2}{2m} \ln \frac{2R}{r}$

$\text{const} = -\frac{3}{4}qBR^2$

附: 不是正宗的简谐运动, 不要搞  $r^2 \omega$  逐渐守恒!

iv (原能量) 径向动力学方程  $m(\ddot{r} - r\dot{\theta}^2) = E_{in}q - qBr\dot{\theta}$

正常应给出有效势函数.

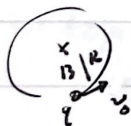
但此处  $\theta$  已改变.

代入  $\theta$ . 对  $r$  在  $r_0$  附近展开 / 求一阶导 (直接关注一阶项) (推荐)

$\ddot{r} + \frac{3}{4} \frac{q^2B^2}{m} \Delta = 0$   $T = \frac{3\sqrt{2}\pi m}{qB}$

即使是径向微振, 就回归径向  $\omega = \text{const}$ . 再举一个熟悉的例子:

洛伦兹力图例. 径向微振后:  $L = mvr - \frac{1}{2}qBR^2 = \frac{1}{2}qBR^2$



$\dot{\theta} = \frac{L}{mr^2} + \frac{qB}{2m}$

代入  $\ddot{r} = r(\frac{L}{mr^2} + \frac{qB}{2m})^2 - \frac{qBr}{m}(\frac{L}{mr^2} + \frac{qB}{2m}) = -(\frac{3L^2}{mR^4} + \frac{q^2B^2}{4m^2}) \Delta$

(更多相关内容见

"受力解振功  $\Delta$ ")



$\omega = \omega_0$  若果是显然的.  $= -\frac{q^2B^2}{m^2} \Delta$

> 潮汐的再说明: 潮汐势面 (平衡潮) 是完全正确的做法; 有时还有另一种. 考虑地心系的

"引潮力".  $f_{\text{潮}} = \frac{GM_m am}{R^2} \hat{R} - \frac{GM_m am}{r_{cm}^2} \hat{r}_{cm}$ .  $q$  展开后得  $f_{\text{潮}} = \frac{GM_m am}{r_{cm}^3} (2r \cos \theta \hat{x} - r \sin \theta \hat{y})$

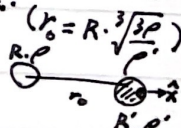


(地心加速度的惯性力) (其实即  $\sqrt{v_m}$  次导得)

这种方式忽略了绕 C, 近似认为  $f_{\text{潮}}$  与地球万有引力下形成潮面.

附带: 关于洛伦兹极限 (撕裂). 在  $V_E, V_m$  (没有  $V_g$ ) 下首阶近似亦可得到正确的潮高  $h = \frac{3M_m R_E^2}{2M_E r_{cm}^3}$ . 可近似认为是  $f_{\text{潮}} +$  自身自转离心力 + 自身万有引力 在  $\hat{x}$  方向  $> 0$  导致撕裂.

总之, 转动下的平衡尽量换进转动系做. 实验室系下不存在  $V$  离, 但 其是需要考虑环境质心转动动能的.



### △ 绳链

方法理论上都在其它地方有了, 但作为柔性物体, 相关题目仍然具有较明显的特征.

> 冲挂: 一般能量不守恒, 应用动量定理和角动量可解决. (庞奈尔斯基方程)

$$F = m \frac{dv}{dt} + (v - \bar{v}) \frac{dm}{dt} \quad \vec{0} \quad \vec{v} \quad \vec{u} = 0 \text{ 时 } F = \frac{d(mv)}{dt} \text{ 绳上挂}$$

$$\vec{u} = \vec{v} \text{ 时 } F = m \frac{dv}{dt} \text{ 绳下冲 (D 没有 } \lambda v^2 \text{ !)}$$

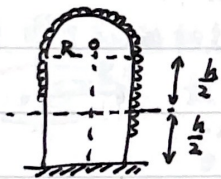
常见的是  $w = xv$  换元或解一阶非齐次微分方程.

> 滑梯: 通常是带半圆的柱体类型, 链条受外力移动, 这时基本上可以能量得到 v.a.

若是整体受力, 可以表达出  $\ddot{x}_c, \ddot{y}_c$ ; 若研究分布便可微元分析.

(受力作用点可能还需要力矩, 即角动量)

Ex 模型不考虑链条膨胀:



柱, 链质量皆为  $m$ , 地面  $\mu$ .  
链柱间无摩擦, 从  $\frac{h}{2}$  处微扰下滑.  
求参数条件, 使得  
(1) 柱能滑 (2) 柱能向一侧倾倒  
(3) (1), (2) 都满足时, 先滑后倒.

$N_2 \uparrow \quad \downarrow N_1$       T Z C Z

$$\begin{cases} f = m a_{cx} \\ N_1 + N_2 = 2mg + m a_{cy} \\ \frac{d(mvR)}{dt} = 2x\lambda gR - hf + RvN_1 - N_2 \end{cases}$$

对  $N$  及其作用点, 可以等效  
为我们感兴趣的两点的  
作用力  $\frac{hf}{N_2}$  (联立条件在这里)

(1)  $f \geq \mu(N_1 + N_2)$ ,  $x = \frac{h}{2}$  最易,  $\mu \leq \frac{h}{2\pi h + \pi^2 R^2}$     (2)  $N_2 \leq 0$ ,  $x = \frac{h}{2}$  最易,  $R \leq \frac{\sqrt{2}-1}{\pi} h$

(3) 临界  $f = \mu(N_1 + N_2)$      $\mu < \frac{R}{h}$   
 $f = \frac{R}{h}(N_1 + N_2)$

> 连续体分析: 以冲击软绳为例:

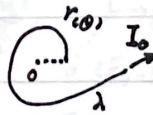


绳不可伸长  $\frac{dv_{\perp}}{dt} - \frac{1}{\rho} \kappa v_{\parallel} = 0$

冲击 (矢量式)  $\frac{d(I\vec{v})}{ds} = \lambda \vec{u}$

$\Rightarrow \frac{dI}{ds} = \lambda \kappa r, \quad I \cdot \frac{1}{\rho} = \lambda \kappa v_{\parallel}$

结论得  $\frac{d^2 I}{ds^2} = \frac{1}{\rho} I$      $s_{(0)}, \rho_{(0)}$  由轨道得到, 可解  $I_{(0)}$ .



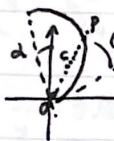
求绳上速度分布  $\vec{u}(s)$   
可以  $\vec{v}$  推, 也可以由  $\frac{d}{dt} \left( \frac{d\vec{r}}{ds} \right)^2 = 0$   
即  $\frac{d\vec{r}}{ds} \cdot \frac{d\vec{u}}{ds} = 0$   
 $\vec{v} \cdot \frac{d\vec{u}}{ds} = 0$  得

### △ 内启动

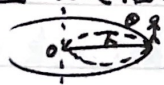
考察的体系通常与外界孤立(如光滑水平面上), 内部有机制提供能量, 比如小虫。  
最为关键的就是用动量守恒。之后有的求位形参量、路径, 做坐标求导积分; 有的结合转系做力学分析、受力和加速度。

例 光滑不定轴转动:  盘  $m, R$ , OA 曲线  $r = \frac{2R}{\pi} \theta$  (1) 全过轻盘转角, T2C1  
小虫  $m$  沿 OA 爬行, 求: (2) 小虫对地的轨道方程。

□ 定好坐标, 列出角动量方程, 题目便做好一半。

 设 P 相对坐标  $\theta$ ,  $\alpha$  为盘转角, 连线总转角  $\theta + \alpha$ 。  
 $\triangleright \frac{1}{2} m R^2 \dot{\alpha}^2 + 2m(\frac{r}{2})^2 \cdot (\dot{\theta} + \dot{\alpha})^2 = 0$

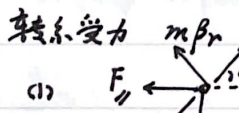
于是整个位形都可以由  $\theta$  描述了。例如用  $q_2 = 2r\dot{\theta} + r\dot{\alpha}$  计算  $a, F$ 。  
质心不动, 体系的考察就可以以 C 为极坐标  $(\frac{r}{2}, \theta + \alpha)$  进行, 积分计算路程等...

例 固定轴的转系分析:  T1C2

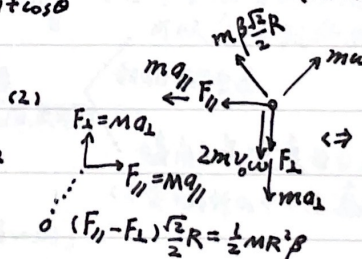
盘  $M, R$ , 可绕 O 轴转动, 人  $m$ 。  
小人相对盘以  $v_0$  作  $\frac{v_0}{R}$  匀速圆周运动。  
表示小人角位置, 求: (1)  $\theta$  时人对盘的作用力。  
(2)  $\theta = \frac{\pi}{2}$  时撤去 O 处转轴, 保持人相对盘规律不变, 求盘心加速度。

□ 角动量守恒  $\theta \sim \omega \rightarrow 0 = -\frac{1}{2} M R^2 \dot{\omega} - m \omega R^2 (2 + 2 \cos \theta) + m v_0 R (1 + \cos \theta)$



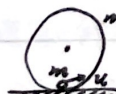
转系受力  $m\beta r$   
(1) 

$$\omega = \frac{v_0}{R} \cdot \frac{m}{m + \frac{M}{1 + \cos \theta}} \rightarrow \beta = \frac{v_0^2}{R^2} \cdot \frac{2mM \sin \theta}{(M + m(1 + \cos \theta))^2}$$

(2)   $F_{\perp} = m a_{\perp}$   
 $F_{\parallel} = m g_{\parallel}$   
 $(F_{\parallel} - F_{\perp}) \frac{\sqrt{2}}{2} R = \frac{1}{2} M R^2 \beta$   
( $\omega$  不变,  $\beta$  改变)

再列解即得。

但也有些情况不是角动量守恒, 而是角动量定理了, 比如立在地上的环与小虫, 这其实更偏近于动力学分析, 除了最开始启动是用了一下守恒。

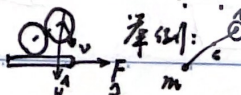
例   $m, R$  小虫以恒定  $u$  相对  $m, R$  环上爬, 地面光滑, 求  $u_{\min}$  虫能到达圆心等高处。

□ (对 C)  $\frac{dL_C}{dt} = N$  再用  $q_{cy}$  平动解。

$$\Sigma u_{\min} = \sqrt{3gR}$$

□ 若地面足够粗糙?  $\Sigma u_{\min} = \sqrt{gR}$ 。

附: 在质心系里的能量和角动量可以用二体与 (考试不建议), 但注意二体只包含了质心所在方向的平动动能, 不涉及转动; 若取只是质心  $x$  向平动系, 则  $y$  向动能仍是  $\frac{1}{2} m v_y^2$  (即动的那个), 总之, 干脆每次老实画 C 算一遍得了。

举例:   $E_k = \frac{1}{2} M v^2 + \frac{1}{2} I \omega^2$   
 $L = M v R - I \omega$

### 刚体：运动学 (一)

> 坐标求导：常见于杆系的问题，选取好直角/极坐标后求导。如  求  $a_p$ 。

但并不是都要以坐标开始，速度的分析很多时候是纯几何的，可能加速度可以用之求导。（当然这时候  $v$  要带参  $v(\theta)$ ）

Ex



筒与杆、地面均保持纯滚。

A端以匀速  $v_0$  向左。求  $60^\circ$  时：杆、筒的角速度、角加速度。

T1C2

令  $60^\circ = \theta$ ，求出  $\omega$  后则  $\beta = \frac{d\omega}{dt} \cdot \omega$  即可。  $\omega_1 = \frac{v_0}{3r}$   $\omega_2 = \frac{v_0}{3r}$

Ex



B 铰接，AB 杆长  $r$  绕 A 匀速  $\omega$  转。位置用  $\theta$ 。

BD 杆长  $2r$ ，穿过固定于 C 的光滑套筒。求：(1) D 点  $v_D, a_D$  (2)  $\theta$  时维持的力 F。杆质量  $m, 2m$ 。现施于 B 点驱动力垂直于 AB 杆。

以 C 为原点，建极坐标。  $r_D = 2r(1 - \sin \frac{\theta}{2})$   $\Rightarrow a_{D0} = -\omega^2 r \cos \frac{\theta}{2}$   $a_{Dr} = \frac{\omega^2 r}{2} (2 \sin \frac{\theta}{2} - 1)$

质心/心为 P。  $r_B = 2r \sin \frac{\theta}{2}$   $r_P = r(1 - 2 \sin \frac{\theta}{2})$

平动  $v_p^2 = v_r^2 + r_p^2 (\frac{\theta}{2})^2$

(2) 则  $F\omega = \frac{d}{dt} E_k = m \cdot \frac{dv_p^2}{dt} = -\frac{1}{2} m \omega^2 r \cos \frac{\theta}{2}$  (见后文)  $\rightarrow$  转动动能不变。

> 转系/换系分析：

这个涉及在很多的方面。通常是刚体角速度复杂，非平面运动，位形参量不明晰的时候。

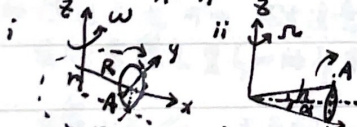
(可以自己设转角  $\theta, \varphi$ ，但麻烦耗时) 一种是下面例子里的：求  $\ddot{a}$ 。绝对常取公转系，(剩下一个角速度)。

相对  $\left\{ \begin{array}{l} \text{相减} \\ \text{矢量求导} \end{array} \right.$  核心：刚体的角速度为  $\vec{\omega} + \vec{\omega}_0$

(有时候刚体是线接触(瞬轴)可以直接判断出  $\vec{\omega}$  总沿该向)

Ex

求 A 点  $v_A, a_A$ ：



求出  $\omega_{自}$  (角速度关联)

利用几何合成

接触点速度为 0 表达出来。

(不要搞什么中心点速度等于什么  $\omega r$ )

$$\square \Rightarrow a_A = \omega^2 \frac{r^2 + R^2}{r} \vec{j} - \omega^2 R \vec{i} \quad a_A = -\frac{R^2}{\sin \alpha} \vec{k} - 2r \frac{1}{2} \cos \alpha \vec{i}$$

只展示一下“矢量求导”的多法。以 ii 为例： $\vec{a}_{A \rightarrow 0} = \frac{d}{dt} (\vec{\omega}' \times \vec{OA}) = (\vec{\omega}' \times \vec{\omega}') \times \vec{OA} + \vec{\omega}' \times (\vec{\omega}' \times \vec{OA}) = \dots$

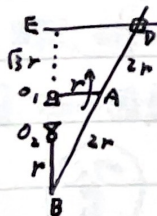
$\vec{\omega}' = \vec{\omega} + \vec{\omega}_0 = -\frac{R}{\tan \alpha} \vec{i}$  (O 是锥底中心)

( $\vec{a}_0 = \dots$  可验证  $\vec{a}_A$ )

注意：只有当  $\vec{\omega}'$  与  $\vec{OA}$  不垂直才等于  $-\omega'^2 \vec{OA}$ 。不要太急了。

还有一种是杆系的问题。

Ex 只能水平移动的套筒：



EF 有 D 套了杆，EF 只能左右移。

O, A 以匀速  $\omega_0$  转。求图示时刻：

(1)  $v_B, a_B$

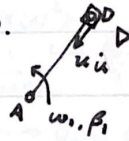
(2)  $v_D, a_D$  (即 EF 杆)

T2C1

### △ 刚体：运动学 (2)

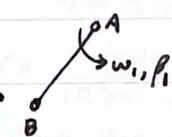
□ 杆系最多的就是取杆上两点 (以及杆上的套筒) 做分析 (不可收缩, 称作“极式系”, 即 $\omega$ 转动, 通常有条件, 当然还有 $a$ )  
 系中只有 $\omega$ 方向速度 $v_{\parallel}$  (比如套筒).

还有一个关键就是“设一解二”.  
 (这里这个思想不是很明显)

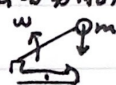


$\triangleright$  D沿杆向的速度加速度 $u, \dot{u}$ 未知, 但可列D点水平竖直条件解出 $a_{D\parallel} (a_D), v_{D\parallel} (v_D)$ .  
 $\rightarrow$ 为0.  $\star$  D沿杆方向移动着, 不要想当然认为杆水平速度相同.

★ “极式系 $\leftrightarrow$ 地系 (真实情况)”  
 对应得解. (更多见“考试点”“给一点求 $\omega$ ”)



$\Rightarrow v_D = \frac{2}{3}\sqrt{3}\omega_0 r$      $v_B = \sqrt{3}\omega_0 r$   
 $a_D = (4\sqrt{3} + \frac{1}{3})\omega_0^2 r$      $a_B = 3\sqrt{5} - 2\sqrt{3}\omega_0^2 r$

$\triangleright$  维持所需 F.M: 能量 (F.V.M.W) 用做功的角度, 表达出功势能求导即可 / 角动量 利用  $M = \frac{dL}{dt}$  得  
 某些动力学色彩的是题目也可以不必. 如  可以直接到  $M \rightarrow$  具体看题哪个 E or L 更好算.

### $\triangleright$ 瞬心/曲率半径:

$\triangleright$  有时注意, 分离体  $m$  要考虑飞出的部分存在的  $dE, dL$ ; 用 E 时注意有无其它输入.

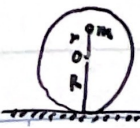
曲率半径的计算及与振动相关见“能量解振功(2)”. 这里讲一些刚体相关的.

通常  $M = I_C \beta$  用在质心上; 有时一些定轴了的转动, 会用  $M = \frac{dL}{dt} = \frac{d(I\omega)}{dt}$ ; 有时候不是真绕着它转, 会写成  $M = r \times m a_c + I_C \beta$ ; 还有一个就是瞬轴,  $M_p = I_p \beta + \frac{1}{2} \omega \frac{dL}{dt}$ , 这里  $I_p$  的瞬心  $P$  是刚体视角里的 (具体理解见例题)  $\triangleright$  速度瞬心, 定义为刚体上或刚体延展空间里速度为零的点. 刚体的运动可以描述成绕相对自身固定的轴转动和该轴相对某系的运动. 注意, 对瞬心通常不用  $M = \frac{dL}{dt}$  相关解决. 如果只是求  $\beta$ , 不如由  $\omega$  求导. (更多强调见“刚体: 冲撞...”)  $\star$  补: 惯性力也可以, 不过注意 (除了这个要换系外, 其它均是相对空间固定点!)

瞬心求  $P$ : 点与瞬心的连线可以帮助找到  $\hat{n}$  的方向, 但  $P$  不是它们的距离! 瞬心也具有加速度. ① 直接看“真”加速度, 不要管瞬心, 得到  $\vec{a}$  后再向  $\hat{n}$  投影. ② 相对瞬心都是  $\vec{a} = -\omega^2 l + \beta l^2$  ( $\triangleright$  注意,  $l$  不考虑  $i, j$ ! 因为瞬心是固定在刚体上的) 然后求出  $a_p$ , 叠和起来求  $a_n$ .

瞬心求  $\beta$ : 用上面所说的 ① 瞬时轴转动定理 ② 惯性力矩 (例子见下) (转动瞬心) (速度瞬心)  
 但实际题目通常建议能量  $\omega$  求导, 当然有时任意性设起来会极难求导, 那就动力学当然, 瞬心用的最多的应该还是运动分析, 快速得到某点速度  $\vec{v} = \omega \times \vec{r}$ , 以及最高点、最低点 (可水平即  $\vec{r}$  竖直) 对应位置 ( $\vec{r}$ ) 的判断. T2C2

### Ex 偏心圆盘纯滚:



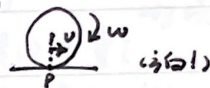
R. 质量可略盘上  $r$  处固定一  $m$  质点. 求 (1)  $m$  至最低处时地面的作用力  
 从最高处微扰滚下. 地面足够粗糙. (2)  $m$  至 0 等高处的曲率半径.  
 (3)  $k_{min}$ .

△ 刚体：运动学 (2)

□ (1) (虽然不需要) \* 感性结论: 最低/高处没有  $\beta$ . ( $\leftarrow$  力矩)

$v = \sqrt{4gr}$ .  $N - mg = m\omega^2 r$ .  $\omega = \frac{v}{R-r}$ .

$\Rightarrow N = mg(1 + \frac{4r^2}{(R-r)^2})$   $\leftarrow$  真加速度



(2) 前  $\frac{v}{2} \rightarrow \omega, v, \omega \rightarrow \beta, \omega \rightarrow a_x(\omega), a_y(\omega) \rightarrow N, f, \mu$



\* 曲率半径不必算  $v, \omega$  值.

$\omega^2 = \frac{2gr(1+\cos\theta)}{R^2+r^2+2Rr\cos\theta}$

$\beta = \frac{gr\sin\theta\cos\theta + R^2}{(R^2+r^2+2Rr\cos\theta)^2}$

$\rho = \frac{v^2}{a_n} = \frac{\omega^2(R^2+r^2)}{\omega^2 r \cdot \frac{r}{\sqrt{R^2+r^2}}} = \frac{(R^2+r^2)^{3/2}}{r^2}$

对 O 或对 P 都可得  $a_x = (R-r\cos\theta)\beta - r\omega^2\sin\theta$   $a_y = -r\beta\sin\theta + r\omega^2\cos\theta$

$\Rightarrow \frac{f}{N} = \frac{r\sin\theta}{R-r\cos\theta}$

max 时  $\theta = \arccos \frac{r}{R}$ .  $\mu_{\min} = \sqrt{R^2+r^2}$ .

▷ 结论: "切式"  $\rightarrow$  瞬时心加速度都为向上的  $\omega^2 r$ .

Ex 椭圆纯滚: (更多相关见"能量守恒功(2)A")

T3C1



轻质椭圆焦点上固定 -m.

A, B, C 从竖直倒下, 保持无滑. 求



时地面的作用力.

□ 前  $\frac{v}{2} v = \sqrt{2g(A+C-B)}$ . 瞬时心 P  $\rightarrow \omega = \frac{v}{A}$ .  $q_p = \omega^2 \rho = \omega^2 \cdot \frac{A^2}{B}$

$m A^2 \beta = (mg + m q_p) C$

$a_y = q_p - \beta A \sin\theta - \frac{v^2}{A} \cos\theta$

$a_x = \beta A \cos\theta - \frac{v^2}{A} \sin\theta$

$\Rightarrow N = mg \frac{B^2}{A^2}$   
 $f = mg \frac{BC}{A^2}$

> 瞬心的加速度 Ex



杆长 2R 摆在 R 的光滑碗里.

$\angle OPA = \theta$ . 从  $\theta_0 = \frac{\pi}{3}$  下放, 求  $\theta$  时

杆瞬时心 M 加速度  $\vec{a}_M(\omega)$ .

□ 角量  $\dot{\theta}^2 = \frac{3g}{R} \frac{\sin 2\theta - \cos\theta}{8 - 6\cos\theta}$ . M 位置:

在刚体(杆延展空间)里看来, M 应

保持距 A  $(2R, 0)$  随杆以  $\dot{\theta}$  旋转.

故 M 只具有旋转引起的加速度, 再叠加刚体整体的加速度(平动)

M  $\rightarrow$  A  $\rightarrow$  地.

(其实应该说对某点 + 该点对地)

$\vec{a}_{M(\omega)} = (-2R\dot{\theta}^2 \hat{n} + 2R\dot{\theta} \hat{t}) + (4\dot{\theta}^2 R \hat{n} - 2R\dot{\theta} \hat{t}) = 2R\dot{\theta}^2 \hat{n}$

### 刚体：冲撞释放 (一)

> 公式使用的提醒：

分析  $v, a$  (关联)  $\longleftrightarrow$  分析  $F, I$  (运动方程)

区别在于：分析时冲撞没有恒定外力如  $mg$  项，而运动有!!  
冲撞是设冲量  $I$ 。  
释放即正常的刚体动力学，研究  $F, a, \beta$  且有时带  $\mu$ 。

i) 初态静止会简单点，如果有  $v, \omega$ ，注意到关联(同归)时， $\omega$  的存在!

ii) 不要随意取转轴，大多无必要。取杆(片)时  $\odot \sum \beta_1 + \beta_2!$

iii) 方程选得对计算会更少  $\rightarrow$  避开力很重要

- ①  $\perp F$
- ② 过力线的轴  $M$
- ③ 整体(内力)

★ 如果挑了非质心的轴：

注意，不是定轴绕其转就没有  $I\omega$ ! 瞬心巧在地系里正好是  $I_p \omega, \frac{1}{2} I_p \omega^2$ ，但只是这个时刻

下个时刻就没有这样表示，也无从  $M = \frac{d(I\omega)}{dt}$  一谈；刚体里瞬心  $I_p \omega, I_p$  保持不变，但有惯性力而在五圆  $\odot \odot$  时无力矩，就很方便

地系点  $\rightarrow$  冲量矩  $J = L_c + L_{c \rightarrow o}$  /  $\vec{M} = \vec{r} \times m \vec{a}_c + I \vec{\beta}$

刚系点  $\rightarrow$  附加  $\vec{r} \times m \vec{v}$  (该点获得速度) / 附加惯性力  
可以写  $I\omega$  (取它为系来的嘛)  $\vec{M} - \vec{r} \times m \vec{a}_p = I_p \vec{\beta}$  (推荐)

iv) "脱离..." 题目常只求法

- ① 假设不脱离时  $N_x$  (判断撞后是否脱离)
- ②  $(P_x)_{max}$
- ③  $a_{cx}$  方向

$t_0^+$  时刻速度变化  $(\Delta v = a \Delta t)$  假设沿靠求  $N$

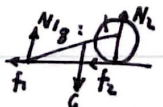
v) "三全法" 三力汇交 + 全反力摩擦角：只做静力平衡！一次判角得出！

即不涉及大小，如  $\mu$  附加了  $mg$  进行具体值二次运算，没法搞不如列解。

vi) 带  $\mu$  的讨论题(其一条件)，先解滑的 ( $\mu N = f, \mu I_n = I_f$ )，代到另一条件等式给出  $\mu_{临}$ ，不滑的就是前面答案  $\mu$  改为  $\mu_{临}$ 。

vii) 一些 Tip:

- $\omega \rightarrow \beta \rightarrow \rho \rightarrow \dots$ ，最好多次利用，且题目不涉及力大小时
- 前小问已经大量计算，后面似乎又来，问"如何运动..."，很可能是静止("三全")
- 不要把动力学和静力平衡混用了！只要在动，求什么力等第一反应是"定理"而非  $\sum F = 0, \sum M = 0$ 。

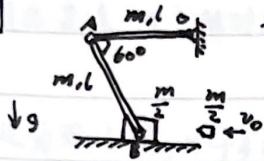
例如  滑动减速情况下自然与出  $f_1 = \mu N_1, f_2 = \mu N_2, a = \beta r = \mu g$ 。但不能随便得  $N_1 = \frac{1}{9} G, N_2 = \frac{8}{9} G$ 。力矩平衡  $\sum M = 0$

(实际上属于"平面平行运动"，对  $c$  列  $L_c$  也可以)

改为自转量定理  $M = \vec{r} \times m \vec{a}_c + I \vec{\beta}$   
带转轮的尤其不要忘了!

△ 刚体：冲撞、释放 (二)

Ex



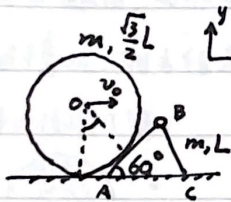
子弹打进木块里. 地面粗糙,  $\mu$ .  
O 为固定光滑轴. A, B 处铰接.

T2C3

- (1) 初始系统静止. 求水平面与物块间  $\mu_{min}$
- (2) 取  $\mu = \mu_{min}$ . 求子弹射入后物块速度  $v_B$ , OA, AB 杆角速度  $\omega_1, \omega_2$ .
- (3) 接(2), 求  $Q_B, \beta_1, \beta_2$  (用  $\omega_1, \omega_2$  表示)

↓  $\omega_1 = \frac{6}{61} \sqrt{3} \frac{v_0}{l}, \beta_1 = -\frac{27}{61} \frac{g}{l} + \frac{2\sqrt{3}(9\omega_1^2 - 16\omega_2^2)}{61}$

Ex



俯视图, 无 g.

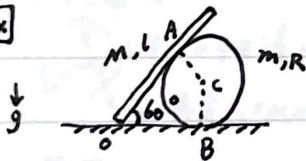
AB, BC 杆  $m, L$  铰接于 B, 轻靠墙.  
匀质圆盘 O 以  $v_0$  撞来.  
忽略一切摩擦.

T3C3

- (1) 完全弹性碰撞. 求碰后杆角速度  $\omega$ , 圆盘速度  $v_x, v_y$ .  
碰后 A, C 点无垂直墙速度.
- (2) 判断 ABC 之后是否会脱离墙.  
并求出 AC 相遇前瞬间  $Q_B$ .

↓  $\omega = \frac{12\sqrt{3}}{47} \frac{v_0}{L}, Q_B = -\frac{351}{4418} \frac{v_0^2}{L}$

Ex



$2\sqrt{3}R > l > \sqrt{3}R$ . 实心圆柱.

T2C2

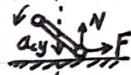
- (1) 系统能平衡. 求柱杆, 柱地, 杆地间  $\mu_{min}$ .
- (2) 柱地间无摩擦. 柱杆间  $\mu$ . 杆地间足够大摩擦. 求静止释放瞬间, 柱, 杆角加速度  $\beta_1, \beta_2$ .

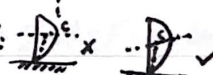
↓  $\mu_{Amin} = \frac{\sqrt{3}}{3}, \mu_{Bmin} = \frac{Ml}{12mR + \sqrt{3}Ml}, \mu_{Omin} = \frac{l}{12R - \sqrt{3}l}$

$\mu < \frac{1}{3\sqrt{3}}$  时  $\beta_2 = \frac{3(3 - \sqrt{3}\mu)Mgl}{4[(3 - \sqrt{3}\mu)Ml^2 + 36mR^2]}$

### △ 刚体：平面平行运动

首先关注一下  $I$  的计算：“各向分计”的思想  $\rightarrow$   $\int x^2 dm + \int y^2 dm$   $I = \frac{1}{12} mca^2 + b^2$   $I = \frac{1}{2} m(a^2 + b^2)$  (常用!)

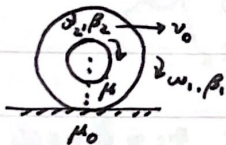
还有要注意，水平方向不受力时，体系的  $v_{cx}$  不变，是“真”  $v_{cx}$ 。取  $C$  平动系的话， $C$  要相当套在一个  $y$  的杆上。计算动能等时不要差错，以及相应的功能原理 

▷ “能越过上方...” 

大部分题目，无非是设力、动力学分析，得到  $v(t), \omega(t)$ ，判断纯滚条件（自锁式），分析讨论运动情况。列方程都是  $\Sigma F = ma_c, \Sigma M = I\beta$ 。

□ 舒力经典问题：一个匀质圆盘，半径一半处

T2C2



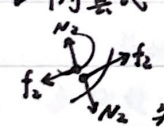
切割成小圆盘与圆环（有缝隙点接触）  
初始通过打击获一平动速度  $v_0$ 。  
环与地  $\mu_0 = 0.5$ ，环盘间为  $\mu$ 。

求：(1) 之后运动中，环盘曾发生过相对滑动， $\mu$  范围。  
(2) 取  $\mu = 0.2$ ，系统末速  $v$ 。

□

(1)

▷ “嵌套”接触点不一定在正下方！（如枪管里的子弹）

  $\mu < \frac{1}{19}$   
先令  $f_2 = \mu N_2$  代入临界条件  $\beta_2 < \beta_1$ 。

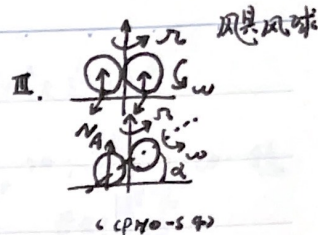
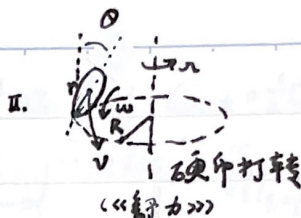
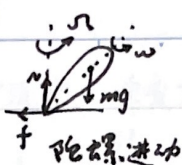
(2) 对地面点的角动量守恒。  
(计算末速常用)  $\rightarrow$   $v = \frac{2}{3} v_0$

一些 Tip:

· 设  $\alpha, \beta$  一定要注意列方程里的正负号，尤其是有多个运动阶段时，不要太快说把如 “ $f_1 = \mu N_1$ ...” 改为 “ $\alpha = -\beta$ ...”，检查不同运动阶段  $\alpha, \beta$  等物理量方向的改变。

### △ 刚体：进动

搜集的几个常见模型：



一般“应运而生”几个点：

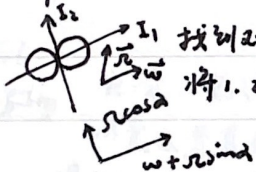
① 关联，纯滚情况（如II）接触点v=0.

列  $\vec{v}_c + \sum \vec{\omega} \times \vec{r} = 0$ . 如II处:  $v - \omega r = \Omega R \sin \theta$

（地面在动：取几转系即  $\Omega R = \omega r$  而不是  $\Omega R!$ ）  
 $(v = \Omega R - \omega r)$

② 主轴分解，一般可能有  $\Omega \ll \omega$ ，但也许就是要求没有（如III）

（包括动能，见下面图）



找到对称性较好的主轴， $I_1, I_2$  一般对C而言。

将1, 2方向总角速度各别乘以  $I_1, I_2$ ，再合成  $L_{总}$ 。 (不过一般若直接算  $L_3$  or  $L_{||}$ )

一般还有一个可近似是  $\Omega \ll Rg$ ，决定了  $f$  (即该项) 的考虑。

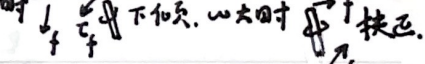
③ 角动量定理，解题按  $\vec{M}_c = \frac{d\vec{L}_c}{dt}$ .  $\vec{M} = \vec{r}_c \times m\vec{a} + \frac{d\vec{L}_c}{dt}$ . 看清楚原点是哪！（常按心运动定理把力换至公轴）

④  $f$  是否有？方向？滑动/纯滚要分清. Check: I. 静 II. 滑. 方向需要讨论  $\omega \sim \Omega$ .

与此同时，就可以问状态间的时间关系或

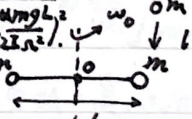
如IV处:  $\tau_f = -L \frac{d\Omega}{dt}$ . III处:

已知  $\mu$   $\left\{ \begin{aligned} f_A, f_B &\sim \frac{d\Omega}{dt} \Rightarrow \Omega ct, \omega ct, \dots \\ N_A, N_B &\text{由 } \textcircled{1} \end{aligned} \right.$



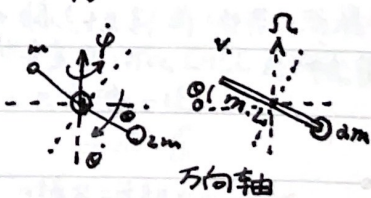
附: II.  $\theta$  为小角.  $\Rightarrow \theta \approx \frac{3v^2}{2gR}$ .  $v$  为  $\textcircled{1}$  处微振.  $\Rightarrow I = (\frac{1}{2} + \frac{a^2}{R^2}) ml^2$

当然还有一些动力学色彩更浓的题 [X] 三维空间转动:



(此处  $\textcircled{1}$  可以理解为角动量守恒,  $\textcircled{2}$   $f$  被  $\textcircled{1}$  处轴给拿掉了, 自由演化) (“方向轴承”)

轻杆两端连  $m$  小球, 初始水平绕正中  $\textcircled{1}$  轴转.  $\omega_0 = \frac{2\pi}{\sqrt{g}}$ .  
 另一  $m$  球从  $l$  上落下与下方  $m$  球发生完全非弹性碰撞.  
 求 (1)  $2m$  高度变化范围. (2)  $2m$  从最低点上升至最高点用时.



□  $L$  在  $L_3$  上守恒 +  $E$  守恒  $\Rightarrow \dot{\theta} = 0$ , (1) 令为 0. (2) 积为.

②  $\left\{ \begin{aligned} \dot{\phi} I \cos^2 \theta &= \text{Const} = I \dot{\phi}_0 \\ \frac{1}{2} I \dot{\phi}^2 \cos^2 \theta + \frac{1}{2} I \dot{\theta}^2 - mg \frac{l}{2} \sin \theta &= \frac{1}{2} I \dot{\phi}_0^2 + \frac{1}{2} I \dot{\theta}_0^2 \end{aligned} \right. \Rightarrow \dot{\theta} = 0$

可以直接把碰撞也纳入进来.  $I \dot{\theta}_0 = m \frac{1}{2} \sqrt{2gl}$ .  $I \dot{\phi}_0 = I \omega_0$ .  
 (瞬轴永远通过的点)

通常是平衡态.  
 若运动即联系  $E$  解;  
 还有一类是微振功,  
 重力矩在补偿完回  
 转力矩后多出来  $I \dot{\theta}$ .  
 注意待偿  $M$  中  $\Omega$  会  
 因  $L_3$  守恒随变  
 自 + 公

▷ ④ 再论角动量定理. 一般考察的都是定点转动, 都可表示成对该点  $\vec{M} = \frac{d\vec{L}}{dt}$  ( $L = I\omega$ )  
 该点常给予力 (非  $M$ ), 这里 (常为公轴点) 亦有  $\textcircled{1}$  主轴分解. (多半无必要换至  $C$  上做, 但对  $C$  不好考察, 但似  $\textcircled{1}$  等例外)

△ 能量解振功. (→)

有一些  $U_{eff}$  相关的词“天津：广设△”，单变量描述体系  $Const = \frac{1}{2} \alpha \dot{x}^2 + \frac{1}{2} \Omega^2 x^2$

平衡稳定性： $\left. \begin{matrix} \frac{d^2 E_p}{dq^2} \Big|_{q=q_0} > 0 & \text{稳} \\ & = 0 \\ & < 0 & \text{不稳} \end{matrix} \right\}$  一阶判别： $\frac{dE_p}{dq} \Big|_{q=q_0^+} > 0, \frac{dE_p}{dq} \Big|_{q=q_0^-} < 0$  稳  
 否则不稳

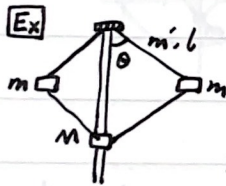
▷  $E_p$  理解为有效势能，即表达式里除去  $\frac{1}{2} \Omega^2 x^2$  剩下的。

振动周期： $\omega = \sqrt{\frac{E_p''}{m}} \left( \sqrt{\frac{E_p''}{m^*}} \right)$  (力然后一次导也可)

尽可能不展开就不展开，直接求二次导。(尤其是静电)

注意有时  $\omega$  定，有时是  $L$  守恒。

大部分题要么  $E_p$  难算，要么  $E_k$  难算，可能出现比较困难的几何。



光滑，上端固定。  
 $M$  套在竖直杆上，用  $m'l$  的杆  
 连上  $m$ 。初始系统绕杆角速度  $\omega_0$ 。

- (1) 初始时  $\theta$ 。  
 (2) 给一微扰，求振动周期。

T2C3

□ ▷  $E_{离} \propto r^2$  不要下意识等效在质心！  $I = 2ml^2 \sin^2 \theta + 4 \cdot \frac{1}{3} ml^2 \sin^2 \theta$

$E_p = -2mgl \cos \theta - Mgz \cos \theta - 4m'gl \cos \theta$

$E_k = \frac{1}{2} I \omega^2 + \frac{1}{2} l^2 \dot{\theta}^2 \left( m + \frac{2}{3} m' (1+3 \sin^2 \theta) + 2M \sin^2 \theta \right) \cdot 2$

$U_{eff} = E_p + \frac{L^2}{2I}$  (1)  $\frac{dU_{eff}}{d\theta} = 0 \Rightarrow \cos \theta_0 = \frac{m + 2m' + M}{m + \frac{2}{3}m'} \cdot \frac{g}{\omega_0^2 l}$

(2)  $U_{eff}'' \Big|_{\theta=\theta_0}$  ( $L = l_0 \omega_0$  代入)  $\Rightarrow T = 2\pi \sqrt{\frac{m^*}{U''}} \Rightarrow \frac{2\pi}{\omega_0} \sqrt{\frac{m + 2M \sin^2 \theta_0 + \frac{2}{3} m' (1+3 \sin^2 \theta_0)}{(m + \frac{2}{3} m') (1+3 \cos^2 \theta_0)}}$

如果出现这类经典的题，注意写法的严谨性，条理清晰。

有时题目要求讨论平衡位置及其稳定性，临界点，往往需单独一类，之后求其振动周期。还可能出现非简谐，如  $\int \frac{dx}{\sqrt{ax^4 + bx^2 + c}}$  等相积分。 $(\frac{1}{2} x^4 + \frac{1}{2} \Omega x^2)$

$E_p$  的表达很广，例如



金属杆通有恒定  $I$ ，  
 求平衡位置及其附近  
 振动周期。

只需添一功  $-m \cdot \vec{B}$

(恒定磁矩在外磁场)  
 (不论及电源做功)

挑逗方法：  
 想要用其表式的磁力是  $-\nabla W$  还是  $\nabla W$  (另外再去计较，通常)

能量解振动(2). 曲率半径

> 曲率半径相关: 有时有涉及平面曲线的振动. 这里有一个“潘索定理”, 运动可以近似为两个各自曲率半径的圆. 还有一个等效的“摆长”概念也很常用.

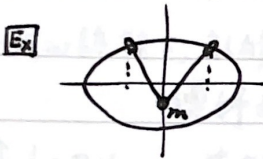
Ex a. b. 椭圆. 纯滚微振:  $l = \rho - b = \frac{a^2}{b} - b$ .  $\triangleright$  注意: 转动动能  $E_k = \frac{1}{2} I_p \dot{\theta}^2$   $\theta$  是自转角速度!  $\left(\frac{1}{2} \text{那个}\right)$

$T = 2\pi \sqrt{\frac{I_c + mb^2}{B}}$



$mg \left( \frac{2A^2}{B} \cos \frac{\theta}{2} - B \cos \theta \right) + \frac{1}{2} (2mCA^2 + B^2 + mB^2) \dot{\theta}^2$

$T = 2\pi \sqrt{\frac{B(A^2 + 5B^2)}{2g(2B^2 - A^2)}}$



$a = \frac{3}{2}l, b = \frac{\sqrt{3}}{2}l$ . 光滑.

平衡时环位于焦点正上方. 求在椭圆平面内(左右)微振周期.



曲率中心  $C_1, C_2$ .

$C_1, C_2$  是  $m$  运动的焦点.

★ 求曲率半径:  $\left\{ \begin{array}{l} \text{① 代公式} \\ \text{② 设运动} \end{array} \right.$

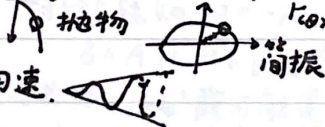
① 代公式:  $T = \frac{2\pi}{g} \sqrt{\frac{2l}{3}}$  “摆长”  $= \frac{l}{\cos \theta}$

② 设运动:  $\left| \frac{(x'^2 + y'^2)^{\frac{3}{2}}}{x'y'' - x''y'} \right|$  其中绳长  $L = 2\sqrt{3}l, \theta = 30^\circ$  (条件解得)

$x(t), y(t)$  型  $\left| \frac{(r^2 + r'^2)^{\frac{3}{2}}}{r^2 + 2r'r'' + r'^2} \right|$  注: 是  $\frac{v^2}{a_n}$ , 不是  $\frac{v_n^2}{a}$

设法: I. 匹配的常见运动  $\rightarrow$  抛物

II. 通常轨道就设匀速.



得  $a_n$ : I. 运动学分析, 如转系.

II. 解析求导 (推荐)  $\left\{ \begin{array}{l} \ddot{x} \\ \ddot{y} \end{array} \right\} \left\{ \begin{array}{l} r - r\dot{\theta}^2 \\ 2r\dot{\theta} + r\ddot{\theta} \end{array} \right.$

更复杂时  $a_c = \frac{\vec{a} \cdot \vec{v}}{|\vec{v}|}, a_n = \sqrt{a^2 - a_c^2}$

不仅仅是运动, 凡是涉及切点附近小量近似的, 很可能都是直接用  $\rho$  圆 (一=二阶都正确)

尤其是椭圆顶点... 例如干涉条纹  $\Rightarrow \rho \approx 2l$  (两倍! 半波损!)

▲ 受力解振动 (一)

> 洛式振动: 除了一个简谐正常的正比回复力  $-\omega_0^2 r$  以外, 还受到一个与速度叉乘正比的力. 如洛伦兹力  $q\vec{v} \times \vec{B}$  和科里奥利力  $2m\vec{v} \times \vec{\omega}$ .

(关于受迫、阻尼的见“振动: 广泛”)

何处可见: 磁电共振: 先有回复性油场, 随后旋转或如何提供磁场 (-阶), 简谐性质发生变化.

注意正交的独立性!  
这里  $x, y$  中都是一  $ga_x, -\frac{ga}{2}y$ !

解析型旋转: 解析面转动.  $\cup z = \frac{a}{2}x^2 + \frac{a}{2}y^2$  旋转简谐不变.  $\cap z = \frac{a}{2}x^2 - \frac{a}{2}y^2$

在一定  $\omega$  旋转下, 能够使振动性质变为稳定.

傅科摆: 单摆所在线旋转 (进动) 塞曼效应的经典解释 (洛科等效) : 35届复五.

基本理论: ① 直解

(较推荐) 令  $\omega_0, \omega_L$  后  $\begin{cases} \ddot{x} + \omega_0^2 x - 2\omega_L \dot{y} = 0 \\ \ddot{y} + \omega_0^2 y + 2\omega_L \dot{x} = 0 \end{cases}$

代入解  $\rightarrow$  在复杂或不对称时使用: (如马鞍面) 得  $AB$  二元方程组. 行列式为 0 解出  $\omega$ . 再看初值.

令  $z = x + iy \rightarrow \ddot{z} + 2i\omega_L \dot{z} + \omega_0^2 z = 0$

特征方程知  $\omega = -i\omega_L \pm i\sqrt{\omega_0^2 + \omega_L^2}$

$z = A e^{\omega_1 t} + B e^{\omega_2 t}$  看初值.

I. 有些时候 (可能是磁电共振),  $\omega_0^2$  前可能是负的 (排斥力), 但洛伦兹力 (或斜力, 亦即旋转) 可以收束. 此时收束 (稳定) 条件为  $\omega_L^2 > \omega_0^2$ . 洛伦兹力即  $\frac{e^2 B^2}{4m} > \omega_0^2$ .

II. 代入解会解出  $\omega = \pm \omega_L + \sqrt{\omega_0^2 + \omega_L^2}$  注意这与  $-\omega_L \pm \sqrt{\omega_0^2 + \omega_L^2}$  是等效的. (负号可由系数修回)

② 洛科等效

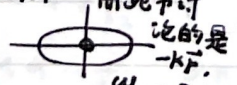
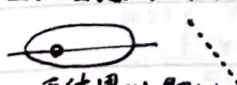
(以电子为例)  $\vec{F} = -m\omega_0^2 \vec{r} - e\vec{r} \times \vec{B}$   
换至  $\omega_L = \frac{eB}{2m}$  同  $\vec{B}$  向转系.

$\vec{F}' = -m\omega_0^2 \vec{r}' - e\vec{r}' \times \vec{B} + m\omega_L^2 \vec{r}' + 2m\vec{r}' \times \vec{\omega}_L$   
 $\omega_L \times \vec{r}' + \dot{\vec{r}}' = \dot{\vec{r}} \implies \vec{F}' = -m(\omega_0^2 + \omega_L^2) \vec{r}'$

再由旋转坐标变换变回. 将之积化和差. 便会有  $\sqrt{\omega_0^2 + \omega_L^2} \pm \omega_L$  频率模式 (算上  $\vec{B}$  向  $\omega_0$  即塞曼分裂)

★ 结论完全可以记住:  $\sqrt{\omega_0^2 + \omega_L^2} \pm \omega_L$ . (举例子, 若平白无辜换系.

II. 注意与  $\omega_r$  相区分.



无怪里  $\omega_r$  即  $\omega_1$   
 $\Omega = |\omega_r - \omega_0|$

而此节讨论的是  $\omega_r = 2\omega_1$  ( $\Omega = |\frac{\omega_r}{2} - \omega_0|$ )  
(轴转动)

轴的转动  $\omega_0^2$  需算上离心力  $\omega_0^2 - \omega_L^2$  则就是  $\omega_0 \pm \omega_L$  (合情合理)

注意进动应指轴转与自转角频率之差!

$\Omega = |\omega_1 - \omega_L|$

( $\omega_0$  即原圆振, 对应  $\omega_L$  一展开角速度)

附:  $\omega_2$  可以解得  $\omega_r = \sqrt{3+d} \omega_0$ . (其中  $F_{cm} \propto r^d$ )

### Δ 受力解振动

(接) 洛式

以r, θ的视角

直解(解析)通常出现在不对称的, 各类情形下, 直角坐标的视角; EL 往往在有心场里,

③ 能量 (正则角动量守恒) 磁场B等于给出了正则角动量守恒  $m v_{\theta} r + \frac{1}{2} q B r^2 = \text{Const} = L$

$$E = \frac{1}{2} m \omega_0^2 r^2 + \frac{1}{2} m (\dot{r}^2 + r^2 \dot{\theta}^2) = \frac{1}{2} m \dot{r}^2 + \frac{1}{2} m \left( -\frac{qBL}{m^2} + \frac{L^2}{m^2 r^2} + \left( \frac{q^2 B^2}{4m} + \omega_0^2 \right) r^2 \right)$$

(当然,  $\omega_0$  可能是负的)

$$\text{有效势能 } U_{\text{eff}} = \frac{1}{2} m \left( \frac{L^2}{m^2 r^2} + \left( \frac{q^2 B^2}{4m} + \omega_0^2 \right) r^2 \right)$$

$$\text{平衡位置 } r_0 \text{ 有 } U'_{\text{eff}} = 0 \Rightarrow r_0^4 = \frac{L^2}{m^2 (\omega_0^2 + \omega_L^2)}$$

$$\text{稳定振动 } U''_{\text{eff}}(r_0) = \left[ \frac{6L^2}{m^2 r_0^4} + 2(\omega_0^2 + \omega_L^2) \right] \cdot \frac{1}{2} m = m \cdot 4(\omega_0^2 + \omega_L^2) \text{ 要求 } \omega_0^2 + \omega_L^2 > 0$$

$\omega_r = \sqrt{4(\omega_0^2 + \omega_L^2)} = 2\omega$ , 注意有效势能角的是r, 这是径向振动.

就实际意义而言,  $\omega_r$  是实打实的径向, 简谐场里  $\omega_r$  相当于来回一次有两次.

如题问“能回到原点的条件...” 比如还有一个普通的径向振动  $\omega_0$ , 那么条件就应该是  $n_1 T_r = n_2 T_0$  或  $n_1 \omega_0 = n_2 \omega_r$  ( $n_1, n_2 \in \mathbb{N}^*$ )  $\omega_0$  却不如  $\omega_r$  在题目里反映得明显.

> 浮力振动: 其实主要是浸水部分的几何分析和字母运算.

亦有浮心、浮力势能 比较构造性的做法是, 写出浮心与重心在水平方向的差值 的办法, 但不必要.

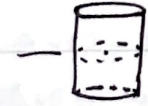
$$\Delta = X_F - X_G, \Delta = 0 \text{ 即为平衡位置, } \Delta' < 0 \text{ 可以判断稳定性.}$$

(这是左右振的情况, 浮力 = 重力 mg, 回复力在 mga; 若是上下振是简单的)

举例子:

可以歪过来, 把东西摆正可能会好算一点. 

Ex



圆柱 h, r,  $\rho$

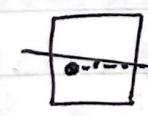
TIC2  $\square$   注意不要等效在重心, 积分算.

水  $\rho = 2\rho$ .

求左右微振频率 (给出稳定的条件)

$$\omega = \sqrt{\frac{3g}{4} \frac{2h^2}{3r^2 h^2}} \quad (h < \sqrt{2}r)$$

Ex



正方形木块,  $\rho = d\rho_0$  ( $0 < d < \frac{1}{2}$ )

T2C3  $\square$  写出  $\Delta, \Delta'$

设水面与其边夹  $\theta$ . ( $0 \leq \theta \leq \frac{\pi}{4}$ )

求平衡位置 (稳定的)  $\theta$  与 d 的相应范围

(即  $\theta_{d1}$ , 分浸1边和浸2边讨论)

★提示: 不仅仅是这里的  $\Delta$ , 还有  $E_p$  等等, " $\Delta = 0$ , 判  $\Delta' \geq 0$ " 的, 尽量将  $\Delta$  化作 (壳) 求积 形式  $\Delta = u^2, \Delta' = u'v + v'u$ .

判  $\Delta'$  要么  $u'v$ , 要么  $v'u$ , 正文方便.

$$\Rightarrow n=2 \begin{cases} 0 < d < \frac{3-\sqrt{3}}{6} & \theta = 0 \\ \frac{3-\sqrt{3}}{6} \leq d < \frac{1}{4} & \theta = \tan^{-1}(\sqrt{12d-12d^2-2}) \end{cases}$$

$$n=1 \begin{cases} \frac{1}{4} < d \leq \frac{9}{32} & \theta = \frac{1}{2} \sin^{-1}\left(\frac{16d}{9-16d}\right) \\ \frac{9}{32} < d < \frac{1}{2} & \theta = \frac{\pi}{4} \end{cases}$$

① 更合适 . ② 写出浮心与重心 相对中垂线的转角  $\tan\phi, \tan\phi$ .

更合适单个三角 (一边 or 三边)   $\Rightarrow$  具体表征偏差关系的量可以 灵活选择.

### △ 受力解振动 (2)

#### > 刚体: 振动

杆小是天生为能量法打造的, 这里不提.

① 受力分析. 解方程时面对  $\sin\theta, \cos\theta$  就可以开始思考阶数, 进行舍去了. 最后肯定是套到某个  $x, \theta$  式里, 都应只套一阶次.

② (不建议)  $L=T-V$ . 出现的位形需 (常为两个) 变量描述, 不考虑动力学上演化的关联. 但动力学上 (如达朗) 的关联还是要的. 之后通常一个不含,  $\frac{\partial L}{\partial \dot{x}} = \text{const}$ , 代入要解的  $\frac{d}{dt}(\frac{\partial L}{\partial \dot{\theta}}) = \frac{\partial L}{\partial \theta}$  里.

Ex



M, R 环中有 m, r 实心圆柱. M 与地, 与 m 间均足够粗糙. 求振动角频率  $\omega$ .

$$\omega = \sqrt{\frac{g}{R-r} \cdot \frac{4M+3m}{6M}}$$

□ 设 N, f.

▷ 注意分析小柱需要在环平动系里, 有惯性力!

② 设  $x, \theta$   $\dot{x} = \dot{r}\dot{\theta}$   
 $\frac{\partial L}{\partial \dot{x}} = 0 \Rightarrow (\frac{3}{2}m + 2M)\dot{x} + m(R-r)\dot{\theta} (\cos\theta + \frac{1}{2}) = \text{const}$

即  $(\frac{3}{2}m + 2M)\dot{x} + \frac{3}{2}m(R-r)\dot{\theta} = \text{const}$   
再代入  $\theta$  方程.

▷ 再说明: 很多时候, 这类不是只为振动准备的, 它可能还要问释纹 (角加速度), 某位形速度

及力学分析等等. ① 代表的力学方法可以求解  $a, \beta$ . 简便程度要看列法. ② 对  $\theta$ ? 对  $p$ ?

② 代表的能量法  $E=T+V$  可以得到位形间速度. 常用:  $f/I_f$  对整体 + 对作用的单体. 取小  $\theta \sim \omega$ , 求导可以给出  $\dot{\omega}$ , 也包含了运动的全部信息.

(如振动列  $\omega^2$  在  $0$  附近近似,  $\omega^2 \propto 4\omega^2$ ) 而主要问题

是在于一个关联 (①  $\omega^2$  与 ②  $\dot{\omega}$ ), 需要一之动力学分析的手段去寻找. 当然, 这也就可以使用  $L=T-V$  得出.  $L$  理论上也包含了全部信息. (常两个自由度, 得到 < 关联 > 代入, 待解.)

但  $(\frac{\partial L}{\partial \dot{\theta}}) = 0$  通常给的都是  $(\theta, \omega, \dot{\omega})$  复杂微分方程, 一种如果是求角加速度 ( $\omega=0$  时), 能快速代解; 求振动, 快速近似出动力学标准式; 还有一种是求  $\omega(\omega)$ .  $E=T+V$  更好. 无解这  $\pm$  阶微分方程 (fit) 式的也用  $E$ .

★ 思想:

① F, 牛二  $\Leftrightarrow$  ②  $\omega, \dot{\omega}$

③ E, L  $\Rightarrow$  ④  $\sim \omega$   $\xrightarrow{\text{求导}}$

以及, ⑤ ⑥ 磁场所时  $\left\{ \begin{array}{l} E \text{ (洛伦兹力不做功)} \\ L' \text{ (洛伦兹力有力矩)} \end{array} \right.$  (正则)

\* E 不守恒.

那就 F, N, 列牛二, 什么质心运动定理, 转动, 角动量定理都上.

具体  $\theta, \dot{\theta}$  选择需统筹全题, 尤其要会  $\theta$  的设法.

△ 平面 n 问题 (一)

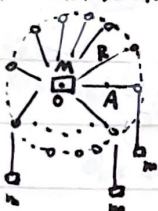
n 问题就是物理量和过程带有 n 次, n 个的问法. 通常还附有  $v \rightarrow \infty$  的近似问题.

时序 n 问题大多思维上并不难, 关键能否列出 n 至 n+1 的递推, 其次就是边界条件的确定, 建议剥出第 1 个和最后一个过程直接与折双原条件, 再次就剩下数列的解决. 这一类就在相应内容的专题体现.

平面 n 问题是几何上的难点, 也可以有“立体 n 问题”, 只是代表一类求和的思想方法.

Ex N 向拉振:

T3C2



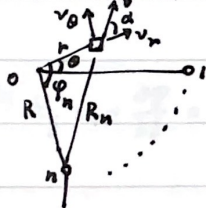
光滑桌面上有 N 个小孔 (N ≥ 3) (1) 拉至 r\_0 (r\_0 << R) 的 A 释放

分布在 R 圆周上, 连中心 M 与 -m. 证明简振并求周期.

初态静止于圆心 O

(2) 拉至 r\_0 (r\_0 << R) 的 A, 沿垂直 OA 方向一小 v\_0 射出 求运动轨迹.

□ (1)(2) 一起问答. 第一步先确定能量的基本思路.



$$\varphi_n = 0 + (n-1) \frac{2\pi}{N}$$

$$R_n = \sqrt{R^2 + r^2 - 2Rr \cos \varphi_n}$$

D(能量) 振动 p 需要保留至二阶.

$$R_n \approx R - \cos \varphi_n r + \frac{1 - \cos 2\varphi_n}{4} \frac{r^2}{R}$$

$$E_p = \sum mg(R_n - R)$$

$$= -mgr \sum \cos \varphi_n + \frac{mgr^2}{4R} (N - \sum \cos 2\varphi_n)$$

★  $\sum \cos \varphi_n = 0, \sum \cos 2\varphi_n = 0$  注: 若 N=2 没有

$$\text{即 } E_p = \frac{Nmgr^2}{4R}$$

等号 cos^2 phi\_n 化

大部分题目应该 N ≥ 3.

$$E_k = \frac{1}{2} M v^2 + \sum \frac{1}{2} m v_n^2$$

$$v_n = v_r \cos \alpha + v_\theta \sin \alpha$$

D(能量) 振动 k 中的 v 只需保留至一阶.

$$v_n \approx v_r \cos(\pi - \varphi_n) + v_\theta \sin(\pi - \varphi_n)$$

$$E_k = \frac{1}{2} M v^2 + \frac{1}{2} m \sum (v_r^2 \cos^2 \varphi_n + v_\theta^2 \sin^2 \varphi_n - 2v_r v_\theta \sin \varphi_n \cos \varphi_n)$$

倍角, 代入★

$$E_k = \frac{1}{2} M v^2 + \frac{1}{2} m \cdot \frac{v_r^2 + v_\theta^2}{2} \cdot N = \frac{1}{2} \cdot \frac{Nm + 2M}{2} v^2$$

以  $\frac{dE}{dt} = 0$  有 (拆解为 2 个正交方向,  $r^2 = x^2 + y^2, v^2 = \dot{x}^2 + \dot{y}^2$ )

$$\omega = \sqrt{\frac{Nm}{Nm + 2M} \frac{g}{R}}$$

$$\begin{cases} x_0 = 0 & \dot{x}_0 = 0 \\ y_0 = 0 & \dot{y}_0 = 0 \end{cases} \Rightarrow x = r_0 \cos \omega t$$

$$\begin{cases} x_0 = r_0 & \dot{x}_0 = 0 \\ y_0 = 0 & \dot{y}_0 = v_0 \end{cases} \Rightarrow \begin{cases} x = r_0 \cos \omega t \\ y = \frac{v_0}{\omega} \sin \omega t \end{cases}$$

打有圈.

阶数的分析很重要.

例如: 下方 N 个电荷以 ω 转动起来.

则上方运动还将出现一项  $\vec{v} \times \vec{B}$  力(进阶阶, v-阶故 B 只须取零阶.

### 平面 n 问题 (二)

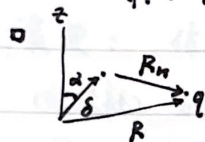
再举一例. 略简单一些.

Ex N 向电荷斜板:

T3C2



N 个  $q, -q$  被限制在  
与  $Oz$  轴夹  $\alpha$  角的线上. 质量  $m$ .  
求  $O$  稳定平衡的条件. 并求振动周期.



写出  $\delta$  位移下的电势. 二维尤其是三维要用点乘!

$$\varphi = \frac{q}{4\pi\epsilon_0} \sum \frac{1}{|\vec{R}_n|} \quad \vec{R}_n = (R \cos \alpha_n - \delta \sin \alpha, R \sin \alpha_n, \delta \cos \alpha)$$

$$(R^2 + \delta^2 - 2R\delta \sin \alpha \cos \alpha_n)^{-\frac{1}{2}} \quad \triangleright \text{注意振动. } \varphi \text{ 要留至二阶.}$$

$$= \frac{1}{R} \cdot \left( 1 - \frac{1}{2} \left( \frac{\delta^2}{R^2} - 2 \frac{\delta}{R} \sin \alpha \cos \alpha_n \right) + \frac{3}{8} \cdot 4 \frac{\delta^2}{R^2} \sin^2 \alpha \cos^2 \alpha_n \right)$$

求和. 利用前面的 \*

$$\varphi = \frac{q\delta^2}{4\pi\epsilon_0 R^3} \cdot \frac{3 \sin^2 \alpha - 2}{4} N$$

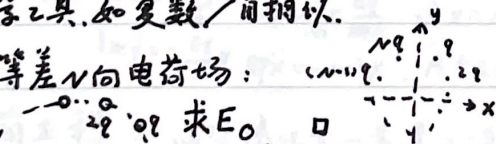
$$\text{则 } E_\delta = -\frac{\partial \varphi}{\partial \delta} = \frac{Nq}{8\pi\epsilon_0 R^3} (3 \cos^2 \alpha - 1) \cdot \delta + \text{Const} \left( q \frac{Nq}{4\pi\epsilon_0 R} \right)$$

$$\text{故 } 0 \leq \alpha < \arccos \frac{\sqrt{3}}{3} \text{ 稳定. } T = 4\pi \sqrt{\frac{2\pi\epsilon_0 m R^3}{NqQ(3\cos^2 \alpha - 1)}}$$

还有一种似乎是平面  $n$  问题. 但并无几何. 更像是时序  $n$  一样机械的叠和. 关键是找  
好数学工具. 如复数/自相似.

Ex 等差  $N$  向电荷场: 求  $E_0$

T2C2



$$E_0 = \frac{q}{4\pi\epsilon_0 R^2} \cdot r = e^{i \frac{2\pi}{N}}$$

① 标记  $E_y + i E_x$  使之利用欧拉公式  $-E_0 \sum n e^{i \frac{(2n-1)\pi}{N}}$

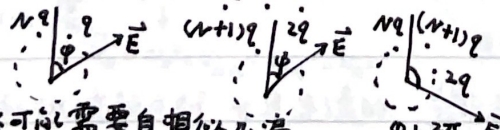
$$\text{求和 } e^{i \frac{\pi}{N}} \sum n r^{n-1} = e^{i \frac{\pi}{N}} \frac{1+r^N (Nr - N-1)}{(1-r)^2} = -\frac{N}{2 \sin \frac{\pi}{N}} i$$

(自相似)

$$\text{则 } E_0 = E_x = \frac{Nq}{8\pi\epsilon_0 R^2 \sin \frac{\pi}{N}}$$

$\triangleright$  可以发现. 精致的选好多便的  
坐标轴很重要. 务必利用对称性.

② 还有一个巧妙的旋转法.



$$E = \frac{E_x}{2 \sin \frac{\pi}{N}} = \frac{Nq}{8\pi\epsilon_0 R^2 \sin \frac{\pi}{N}}$$

\* 有些题可能需要自相似几遍.  
如 (指数螺线 + (-1) 等差). 数学上源于数列求和  $S$  的方法.

这些都是平面  $n$  问题  $\left\{ \begin{array}{l} \text{代数} \\ \text{几何} \end{array} \right.$  还有就是单结平面上繁复. 需要数列求和的. 故称代数.

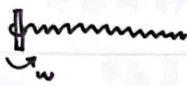
例四 Apho 题 (求和  $N$  个三角板  
的势能. 动能)



振动：广义 (二)

$\ddot{u}_n = \omega_0^2 (u_{n+1} + u_{n-1} - 2u_n)$  球键可代试操解  $u_n = Ae^{i(\omega t + \varphi_n)}$  得色散关系  
 $\Delta\varphi = \frac{2\pi}{\lambda}l = kl$   $\omega = 2\omega_0 \sin \frac{kl}{2}$

Check:



原长  $L$ ,  $m$  弹簧套在杆上以  $\omega$  转.

求原  $x$  处位移  $y(x)$ , 给出弹簧稳定的条件  $\Rightarrow y(x) = \frac{\sin \alpha x}{\alpha \cos \alpha L} - x$

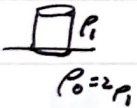
对边界条件的确定: 若连接四物块或其他机制则列相应运动方程.

若空, 则  $T=0$  即此处  $\frac{dy}{dx} = 0$ .

$y(L)$  中含  $\tan \alpha L \rightarrow \infty$   
 $\omega < \frac{\pi}{2} \sqrt{\frac{k}{m}}$

> 纵波再说明: (前面所有的  $\alpha$  都为 0) 首先是固体的波动方程, 给出简谐波解和波速. 边界给出振动模式如 自由端为波腹, 固定端为波节. 连物体端则为对应边界条件. 由此可给出驻波模式. 初态给出各模式的成分. 一般近似条件下都至要看第一个解.

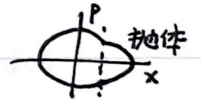
缓变 @ 浸渐不变量再说明: 有时缓变之后会出现“振动断开”的情况, 即举个例子:



柱下底面与水齐平释放, 后逐渐加盐使  $\rho_0 \rightarrow 1.5\rho_0$ . 若  $A^2\omega = \text{const}$ , 会发生圆柱

$\rho_0 = 2\rho_1$

会露出水面以上. 正确做法应是设  $A$ , 画出全过程正确相图



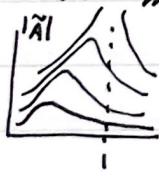
整个  $S$  等于原来  $S$ . 解出  $A$ .

(代入如运动方程)

> 共振与谐振:  $\Delta$  体系有外界  $\omega$  频率性输入的. 求稳态... 振动解可直代  $Ae^{i\omega t}$  试操.

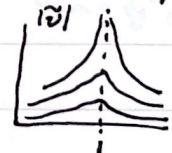
①  $\ddot{x} + 2\beta\dot{x} + \omega_0^2 x = \frac{F}{m} e^{i\omega t}$  代入  $\tilde{x} = \tilde{A} e^{i\omega t}$  得  $|\tilde{A}| = \frac{F}{m} \cdot \frac{1}{\sqrt{(\omega_0^2 - \omega^2)^2 + 4\beta^2\omega^2}}$   $\varphi_A = \tan^{-1} \frac{2\beta\omega}{\omega_0^2 - \omega^2}$

振幅共振



$|\tilde{A}|_m = \frac{F}{m} \cdot \frac{1}{2\beta\sqrt{\omega_0^2 - \beta^2}}$   
 $\omega_m^2 = \omega_0^2 - 2\beta^2$   
 $(\beta > \frac{\omega_0}{\sqrt{2}} \text{ 时无 } A \text{ 极值})$

速度共振



$|\dot{\tilde{x}}|_m = \frac{F}{m} \cdot \frac{1}{2\beta}$   
 $\omega_m = \omega_0$

品质因素  $Q = \frac{\omega_0}{2\beta}$  i) 尖锐程度 (= 带宽  $\Delta\omega$ ) 令  $|\tilde{x}| = \frac{1}{2} |\tilde{x}|_m$  得  $\omega = \omega_0 \pm \beta$

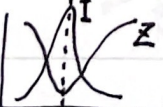
ii) 周期耗散 (=  $2\pi \frac{E}{\Delta E}$ )  $E = \frac{1}{2} k A^2 e^{-2\beta t}$  (在  $\beta \ll \omega_0$  时  $\tilde{A}$  行为也变为如此)

(iii) 免电路谐振

得  $\Delta E = 2\beta T \cdot E = \frac{4\pi\beta}{\omega_0} E$

串联

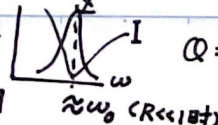
$\frac{E}{C} + jR + jL = U e^{i\omega t}$   
 $Q = \frac{\omega_0}{2\beta} = \frac{\omega_0 L}{R}$



对应  $\varphi \sim \pi$ ,  $i \sim v$ ,  $m \sim L$ ,  $k \sim \frac{1}{C}$ ,  $\gamma \sim R$ ,  $\beta = \frac{R}{2L} \sim \frac{\gamma}{2m}$ .  
 (A 在电路意义不大,  $Z, U$  更为突出)  $\omega_0 = \frac{1}{\sqrt{LC}} \sim \sqrt{\frac{k}{m}}$

$\Delta Z = 0 / \infty$  即出谐振

振状态, 电流不受外部控制



iii) 振荡比 (=  $\frac{U_C}{U} = \frac{U_L}{U}$ )  
 $Q = \frac{I_C}{I} = \frac{I_L}{I}$

相当于有一大电流在并联回路里, 通往外电路(小)很少.

### 静力平衡

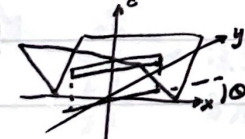
> 几个特殊模型：拉绳：轻绳始终保持拉直。把圆锥面展开应为一曲线。  
 还有一种是在杆上套了轻环或直接绕光滑细线。  
 → 随时平衡。一定上或角平分个。即使微扰动也是！  
 如果环杆间有 $\mu$ ，就是一个夹角 $\leq \theta$ 的事。

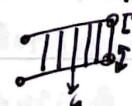
桌面：平面等提供额外的形变约束。如  $N_2 = N_4$  同时  $= \frac{N_1 + N_3}{2}$ 。  
 桁架：设力时候方向统一（拉/压为正），先折先整体，后逐点。（即为整体）  
 $\Sigma F_i = (m+n)g$   $F_i = F_0 + \cos(\theta_i - \alpha)F'$   
 $\Sigma M_i = 0$  (对O点连线) 可求出 $F_i$ 。 (设 $\alpha$ 为倾斜角)

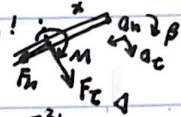
> 基础理论：平衡 → 静止 / 匀速运动 (如  $\frac{v}{a}$ )  
 静力 → 无 $\alpha, \beta$ 。只要有 $\alpha, \beta$ ，就不能轻易用。  
 临界分析 → 力 $F$ 之方向？/有无？

单体平衡  $\Sigma F = 0, \Sigma M = 0$ 。  
 带 $\mu$   $\left\{ \begin{array}{l} \text{三全法 (空间力系可能也爱使用的)} \\ \text{分量式 (一般表达)} \end{array} \right.$   
 设 $N, f$ 列解  $\mu \geq \frac{f}{N}$ 。  
 多点摩擦(临界判断)：谁先滑？/要滑一起滑？

多体平衡亦是整体。隔离等手段，更：注重设法与方程的挑选（避开力0）

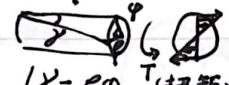
Ex   $\theta = \pm y$  平面 求平衡时杆在 $xy$ 平面投影与 $x$ 轴夹角最小值 $\theta_{min}$ 。  
 全反力 $F$ 与水平分量 $(xy$ 平面投影)必沿杆向。  
 $\Rightarrow \left\{ \begin{array}{l} \theta_{min} = 0 \quad \mu \geq 1 \\ \theta_{min} = \arctan\left(\frac{\sqrt{1-\mu^2}}{\mu}\right) \quad \mu < 1 \end{array} \right.$

> 能量法：更加广泛，在静力学里可能以质心高度为主。  
 在判断稳定性应用更多，当然也要力学方法如考察回复力、回复力矩等。  
 虚功原理：非常重要，有时可以理解为就是能量法，但当是存在 $f$ 或摩擦力矩 $\Gamma$ 时，要报功就比较难了。  


注意：一般刚体杆上存在  $M, F_n, F_c$  的分布！  


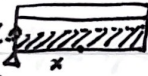
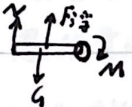
材料力学

轴向拉伸压缩  $\sigma = E\varepsilon$    $\sigma = \frac{F}{A}$  故  $\Delta l = \frac{FL}{EA}$   $U = \frac{F^2 L}{2EA}$   $u = \frac{1}{2} E\varepsilon^2$

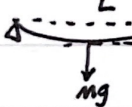
(剪切) 扭转  $\tau = G\gamma$   令  $I = \int_A \rho^2 dA$   $T = \int_A \rho \tau dA$  故  $\varphi = \frac{TL}{GI}$   
 $\gamma = \rho\varphi$  ( $\varphi$  与  $\rho$  相关, 而  $\varphi$  是特征值)  $\tau = \frac{T\rho}{I}$   $U = \frac{T^2 L}{2GI}$   $u = \frac{1}{2} G\gamma^2$

弯曲  令  $I_z = \int_A z^2 dA$   $M = \int_A E \cdot dA \cdot z = \int_A \frac{z}{R} dA \cdot E$  故  $\theta = \frac{Ml}{EI_z}$   
 $\varepsilon = \frac{z}{R}$  ( $\varepsilon = \frac{z}{R}$ ) (矩形截面即  $\frac{1}{12}bh^3$ ) (圆形截面即  $\frac{1}{4}\pi r^4$ )  $\sigma = \frac{Mz}{I_z}$   $U = \frac{M^2 l}{2EI_z}$   $u = \frac{1}{2} E\varepsilon^2$

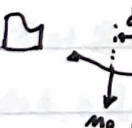
许用应力：通常是一根杆件，受一些力后，呈现有应力和力矩的分布，要求材料的强度如单位长度(面积)的拉力  $\sigma_0$  等。弯曲力矩产生的正应力近似线性分布 

图 船搁浅：  $0 \sim x$  段   $M_{(x)} \rightarrow M_{max}$  处  计算应力提供的力(偶)矩。

横梁挠曲线：由  $\theta = \frac{Ml}{EI_z}$  得  $y'' = \frac{M_{(x)}}{EI_z}$  ( $R \approx \frac{l}{|y''|}$ ,  $y'$  极小)

 分析出  $M_{(x)}$  后代入解即可。  
如轻梁，中点挂重物  $Mg$  后：

$x \sim \frac{L}{2}$  段   $M_{(x)} = \frac{Mg}{2} (\frac{L}{2} - x) \Rightarrow \ddot{y} = k (\frac{L}{2} - x)$   $k = \frac{6Mg}{Eb^3}$

 注意  $M_{(x)}$  分段，解也需要分左右解。边值条件  $\begin{cases} y_{1(0)} = y_{2(0)} \\ y'_{1(0)} = -y'_{2(0)} \end{cases}$  ( $0$  为  $Mg$  处)  $d = y_{(\frac{L}{2})} \Rightarrow E = \frac{Mg L^3}{4bd^3}$   
 $y = k(\frac{L}{4}x^2 - \frac{x^3}{6}) + C_1 x + C_2$   
 由对称性和原点选择 ( $y'_{(0)} = 0$ )  
 $y = k(\frac{L}{4}x^2 - \frac{x^3}{6})$

梁自重  $mg \Rightarrow d = \frac{gL^3}{4bd^3} (M + \frac{5}{8}m)$

\* 由于它是线性的，挠度的效果可以直接叠加  $d_1 + d_2$ 。

弹性势能：一种是做功题，只需要一个几何参量，就可以确定如弯曲程度，得到  $U$ ，算在势能里即可，包括平衡位置，亦可求一阶导得到。



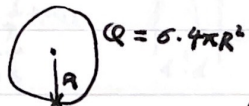
上式的公式都是均匀的情况，但如果是分布，则应改为如  $U = \int \frac{F_{(x)}^2 dx}{2EA}$   $U = \int \frac{M_{(x)}^2 dx}{2EI_z}$   
 $\varphi = \int d\varphi = \int \frac{T dl}{GI}$  等。  
 ( $\varepsilon = \frac{l}{R} - 1$ ) (有时候难以使用, 如横梁)

在既有拉伸又有弯曲时注意  应用还原后只有弯曲的情况计算弯曲的应变，即  $\frac{z}{R} \cdot \frac{l}{R}$ 。由于  $\frac{1}{2} E\varepsilon^2$  积分时，内外会把交叉项消去，故可分开成  $U_1 + U_2$ 。其中  $U_2$  写为  $\frac{M^2 l}{2EI_z}$ 。或者直接做  $\frac{1}{2} E (\varepsilon_1 + \varepsilon_2)^2$  积分。

### △ 电像法与电势能

(这里是) 注意. 静电力是超距力, 计算时不要遗漏. 如  $Q_1 \leftarrow Q_2$  受力平衡时不要忘了左下侧的!

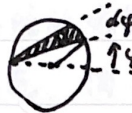
> 先看一道例题. 圆盘电势:



$Q = \sigma \cdot \pi R^2$  求均匀带电圆盘

(1) 边缘点的电势 (2) 静电能

□ (1) 积分形式选的好.



$$dU = \frac{\sigma r dr d\phi}{4\pi\epsilon_0 r} \cdot \frac{1}{2R\cos\phi} \quad U = \int_{-\pi/2}^{\pi/2} \int_0^R \frac{\sigma r dr d\phi}{2R\cos\phi} \quad dU = \frac{\sigma R}{\pi\epsilon_0}$$

\* 均匀带电球内:  
 $\varphi = \frac{Q}{4\pi\epsilon_0 R} \left( \frac{3}{2} - \frac{r^2}{2R^2} \right)$

(2) 逐个环带移出 (面微元自能可略)

$$W = \int_0^R \sigma \cdot 2\pi r dr \cdot U(r) = \frac{2\sigma^2 R^3}{3\epsilon_0} = \frac{2Q^2}{3\pi\epsilon_0 R}$$

首先电势要会算. 要么点电荷. 线电荷. 要么  $\frac{1}{r}$  展开. 要么如这种一定的积分技巧.

其次. 移入/移出求静电能思想很常见. 差值就是做功. 例如最顶上四角的例子. 其

$W=0$ . 因为始终受力平衡. ( $A = \Delta W$  永远成立)

□ 重申一遍静电能定义: 一个体系  $W = \sum \frac{1}{2} qU$ .  $U$  为除  $q$  外产生在  $q$  处电势.

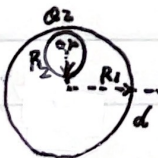
场源固定. 不关心场源时  $W = \sum qU$  还未包括场点  $q$  们自能.

极化时  $W = \sum \frac{1}{2} q_0 U$   $q_0$  为自由电荷. 而  $U$  是所有电荷在  $q$  处电势.

> 带有像电荷的体系, 算静电能按真实所在分布.  $W = \sum \frac{1}{2} q\varphi$ . 有时接地  $\varphi=0$ .

有时是导体,  $\sum q=0$  原不带电; 或者顶多算个导体处电势, 都很方便. 再不济也可以用  $F$  积分, 也是办法. 不过注意有时会问“相互作用能...”, 记得从  $\frac{1}{2} q\varphi$  中扣去自能项.

Ex 程电经典:



球  $R_1$ .  $d > R_1$  处有  $Q_1$ .  
内有空腔  $R_2$ .  $r < R_2$  处有  $Q_2$ .

求体系电势能 ( $Q_1$  移走所做的功).

$$\sum W = \frac{kQ_1Q_2}{d} + \frac{k}{2} Q_2^2 \left( \frac{1}{R_1} - \frac{R_2}{R_1^2 R_2} \right) - \frac{k}{2} \frac{Q_1^2 R_1^3}{d^2 (d^2 R_1^2)}$$

$$A = - \frac{kQ_1Q_2}{d} + \frac{k}{2} \frac{Q_1^2 R_1^3}{d^2 (d^2 R_1^2)}$$

□ 球内  $Q_2$  的电势  $\varphi = U_{球} + \frac{kQ_2}{r}$

算  $U_{球}$  其实已经计入了  $Q_2$  的影响 (向心不然怎会等效为 0) 而  $\infty$  至壳  $Q_2$  的积为正等于负的  $\infty$  至壳  $Q_2'$  积. 减去其后, 便是  $\infty$  至  $Q_2$  点处的  $Q_2'$  积.

Ex



在接地导体半球壳内

由  $0$  上  $a$  处水平移功  $b$ . 求外力做功

$$\sum W = \frac{q^2}{8\pi\epsilon_0} \left( \frac{2Ra^2}{R^2 - a^2} - \frac{R}{R^2 - (a^2 + b^2)} + \frac{R}{\sqrt{(a^2 + b^2)^2 + R^2} - 2R^2(b^2 + a^2)} \right)$$

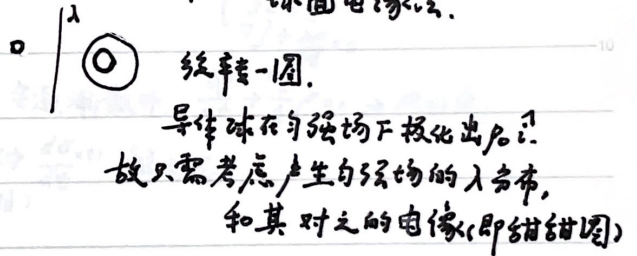
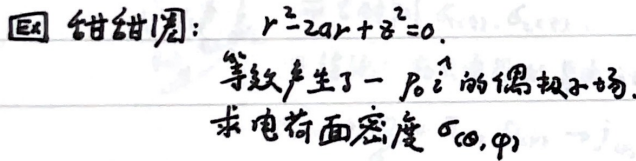
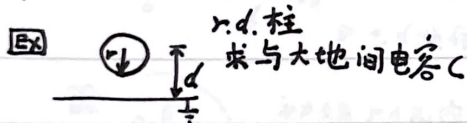
### △ 电像(法与电势能 (2))

前面这个圆的多镜面电像是“自标型”的，还有一种就是“无穷电像型”。举几个例子：

$\text{⊙} \dots \text{⊙}$  电容  $C = 8\pi\epsilon_0 R (1 - \frac{1}{2} + \frac{1}{3} - \frac{1}{4} + \dots)$

$\left| \begin{array}{c} \uparrow \\ \text{⊙} \\ \downarrow \\ \text{⊙} \end{array} \right|_0$   $F_x = \frac{q^2}{4\pi\epsilon_0 d^2} (1 + \frac{1}{3^3} + \frac{1}{5^3} + \dots) \times$

> 电像反演：当我们求解导体的电势差、电容、面电荷分布等时，对于导体这个等势面，可以进行猜解场(电像)的形态。同样，对于产生一定的场，具有一定分布电荷的带电体，我们可以认为其是某情况下场源的电像，再利用虫双“虚假的”场得到其电极化的形态。





### △ 电介质相关 (1)

\* 介质小球受力用  $F = \vec{p} \cdot \nabla \vec{E} (= \epsilon_0(\epsilon_r - 1) \cdot \frac{1}{2} \nabla E^2)$

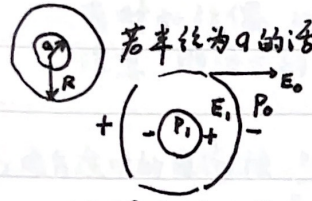
(2) 如果是题目里这种空气薄层 与介质间 直接置于电介质中。从思考上有直观的理解。

由导体。于是总电荷面密度可视为  $3\epsilon_0 E_0 \cos\theta$ 。其次“平衡置荷”的思想很重要。Q在刚

受力即  $df = \frac{1}{2} \epsilon_0 \epsilon_r \cdot (3 E_0 \cos\theta + \frac{Q}{4\pi\epsilon_0 \epsilon_r R^2})^2$  刚基础上只是均匀的拉了一些极化电荷。

在fx方向积分  $\Rightarrow F = \frac{3}{2} E_0 Q \int_0^\pi \cos^2\theta \sin\theta d\theta = E_0 Q$  关键这个事实!

□ 若半径为a的话: 球偶仍是对的。



$$P_1 = 3\epsilon_0 E_1 \quad E_1 = E_0 + \frac{P_0}{3\epsilon_0}$$
$$E_0 + \frac{P_0}{3\epsilon_0} + \frac{2P_1 a^3}{3\epsilon_0 R^3} = \epsilon_r (E_0 - \frac{2P_0}{3\epsilon_0} + \frac{2P_1 a^3}{3\epsilon_0 R^3})$$

(E, P, Q, 忽略不同)

可以解出。

当  $a=R$  时  $P_0 = 3\epsilon_0(\epsilon_r - 1)E_0$   $P_1 = 3\epsilon_0 \epsilon_r E_0$

所谓  $\sigma$  即  $P_1 - P_0 = 3\epsilon_0 E_0$ 。

但空气薄层在受力上并

(正负号, 注意  $P_1$ )  $P_0$  要相减)

不与直接置于相同。正是前页里用“一句话理解”说的。

(举一个不恰当的例子, 它只能

空气薄层顶住了这个附加力。

说明空气层的重要性:

水底的物块:

浮力? 大气压?

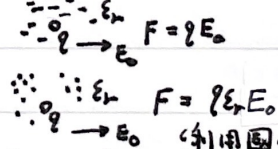
> 极板受力再补充:

前面说的“一句话理解”里的压迫说法,

针对的是液体电介质。

而固体电介质自己“顶住了”这个压迫, 没有

这个理解, 计算上也当视为“小小的空腔”。



v) 球偶结论 (2): 不仅仅是均匀外场  $E_0$ , 一个偶极子场也可实现球偶。

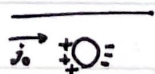
由静电场唯一性定理, 我只要对任意  $D_1 = D_2$ , 就可成立。在球偶假设下, 只需要外场沿径向分布是  $\cos\theta$  形式,  $\cos\theta$  就可以等式两边消掉, 定解  $\phi_0$ 。

$$\epsilon_r (E_0 \cos\theta - \frac{P}{3\epsilon_0} \cos\theta) = E_0 \cos\theta + \frac{2P}{3\epsilon_0} \cos\theta$$

只是将  $E_0$  换作了  $\frac{2P_0}{4\pi\epsilon_0 r^3}$ , 于是其  $\phi_0 = \frac{3(\epsilon_r - 1)}{\epsilon_r(\epsilon_r + 2)} \frac{P_0}{2\pi r^3}$ 。

其中  $\epsilon_r$  源自介质球极化另一端“对电偶极子  $P_0$  的遮蔽 (即取  $\frac{P}{\epsilon_r}$  作计算)

▷ 还有一种是, 在电场下形成的球偶:



(对外  $\frac{P}{\epsilon_r} + \frac{4}{3}\pi r^3 \phi_0 = P_{总}$ )

\* 这里球面上存在自由电荷!

所以没有D连续的条件, 而有平衡条件  $E_0 - \frac{2P}{3\epsilon_0} = 0$  (外部无场不能再流)

至于  $P = \epsilon_0(\epsilon_r - 1)E$  的式子, 它只是考察静电(极化)提供的电荷, 而这个  $P = \frac{2}{3}\epsilon_0 E_0$  是总的将导体与空腔任意  $\epsilon_1, \epsilon_2$ , 总的效果不会变。

### △ 电介质相关 (2)

vi) 球偶结论 (2): 与此同时, 还有柱偶.  $\left( \begin{array}{c} \ominus \\ \oplus \end{array} \right) \rightarrow P = P \cdot \Delta r$

▷ 入异号线在远处:  $(P = P \cdot \pi R^2)$   
 (即求导)  $\frac{P \cos \theta}{2\pi \epsilon_0 r^2} \hat{r} + \frac{P \sin \theta}{2\pi \epsilon_0 r^2} \hat{\theta}$

$$\begin{aligned} \triangleleft \vec{E}_{\text{内(退)}} &= \frac{P}{2\epsilon_0} \\ \vec{E}_{\text{外}} &= \frac{P}{2\epsilon_0} \end{aligned}$$

其系结论不妨现推.  
 如  $P = \frac{2\epsilon_0(\epsilon_{r2} - \epsilon_{r1})E_0}{\epsilon_{r2} + \epsilon_{r1}}$

附: 题目求等效介电常数  $\epsilon$ . 用总的极化强度计算.

有时如柱偶, 沿柱向和横截向不同.  $n = \sqrt{\epsilon}$ . 成为一双折射晶体.

注意, 胶体式的等效极化强度应为  $P_1' + \eta(P_2 - P_1)$  ( $P_1$  为远处即  $(\epsilon_1 - \epsilon_0)E_0$ )

vii) 电介质中的电像法  $\begin{array}{c} \epsilon_2 \\ \hline \epsilon_1 \end{array} \begin{array}{c} z' \\ h \\ h \\ z'' \end{array} \rightarrow \left( \begin{array}{c} \oplus \\ \ominus \end{array} \right)$  不用乘  $(1-\eta)$ . 相应  $\epsilon = \epsilon_1 + \eta \dots$

$$q' = q'' = \frac{\epsilon_0(\epsilon_1 - \epsilon_2)}{\epsilon_1(\epsilon_1 + \epsilon_2)} q$$

$q$  贡献用  $\epsilon_1$  除.  $q'/q''$  用  $\epsilon_0$  除. ( $q'$  对下半,  $q''$  对上半)

viii) 磁标势法: 如果遇到磁学的球偶、柱偶等极化相关内容, 统一用对应表先

解电学再替换!

|   |     |     |             |          |            |            |              |     |       |
|---|-----|-----|-------------|----------|------------|------------|--------------|-----|-------|
| 电 | $E$ | $D$ | $\varphi$   | $\rho$   | $\sigma$   | $\epsilon$ | $\epsilon_0$ | $P$ | $P$   |
| 磁 | $H$ | $B$ | $\varphi_m$ | $\rho_m$ | $\sigma_m$ | $\mu$      | $\mu_0$      | $M$ | $M_m$ |

▽ 传导 / 电学类比

★ 补一个电学场注意的点: 当空间中  $\sigma$  不是均匀的时候, 存在自由电荷分布, 不要用静电场的结论如  $E \propto \frac{1}{r^2}$ . 从电流连续性方程即  $I, j$  入手. ( $E_i$  与  $E$  以示区分)

> 电流场 ~ 静电场:  $\oint \vec{j} \cdot d\vec{s} = I$     $\oint \vec{E} \cdot d\vec{l} = 0$     $\vec{j} = \sigma \vec{E}$    连续性方程即  $I, j$  入手. ( $E_i$  与  $E$  以示区分)

$j \sim D$     $\oint \vec{D} \cdot d\vec{s} = Q$     $\oint \vec{E}_i \cdot d\vec{l} = 0$     $\vec{D} = \epsilon \vec{E}_i$

$I \sim Q$

$\sigma \sim \epsilon$

(不推荐使用, 除非题目是明确的 | 电极插入, 就算明确也大可不必)

一般的漏电场, 就正常的去看看  $I = -\frac{dQ}{dt} = \sigma \phi = \frac{\sigma Q}{\epsilon_0}$

半无限高斯定理 也应改为  $\frac{\rho I}{2\pi r^2}$

> 传热场:  $J = -k \frac{dT}{dx}$     $j = -\sigma \frac{d\phi}{dx}$     $k \sim \sigma$

$\oint \vec{j} \cdot d\vec{s} = P$     $\oint \vec{j} \cdot d\vec{s} = I$     $T \sim \phi$

★  $mc \sim C$

( $c$  为比热容,  $m$  即热容)

Ex 气温  $0^\circ\text{C}$ , 水面结冰.

将冰视为良热导体, 空气热导率

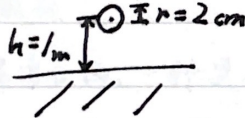
通过几何形态  $Q \sim q$  关联了主要电学量  $Q$  的表达式

$k = 0.028 \text{ W/m}\cdot\text{K}$ . 一铁球初温  $T_0 =$

$100^\circ\text{C}$ . 求降至  $T_1 = 50^\circ\text{C}$  用时. 其密度

$\rho = 7.86 \times 10^3 \text{ kg/m}^3$ . 比热容  $c = 0.46 \text{ J/g}\cdot^\circ\text{C}$

(即. 关键的区别在于, 电学里我往外的是通是只跟  $Q$  有关的(恒定), 而导热时外界如何影响了我的热通) 这里的  $C$  应定义为  $\frac{Q}{\phi}$ , 包括自身与他人, 可能是过程的函数.



T2C1

$\square \Rightarrow -\frac{dT}{dt} = \frac{3kl}{\rho c r^2 (l-r)} T$  ( $l=2h$ )  $\Rightarrow t = 1.18 \times 10^4 \text{ s}$

△

(如E反向也接(发电机), 如 $j_x, j_0$ 同轴筒)

No.

外界 $\vec{j}$ 都可流时,  $\vec{E}$ 无法调整, 一定是定 $\vec{E}$ 不定 $\vec{j}$

★单载流子就是 $\vec{j} = \sigma \vec{E} + \frac{\sigma}{ne} \vec{j} \times \vec{B}$ 定态. 注意外界要求, 外界不允许的, 有 $E_z$ 调整.

### △ 导体/半导体

★ (实为 $\Sigma_2$ )

是1-2合的结果. 各自 $\vec{j} \propto \vec{v}$ , 存在y(纵向).

> 磁阻效应: 核心就是,  $\vec{j} = \sigma(\vec{E} + \vec{v} \times \vec{B}) = j_x \hat{x}$  是最终结果态. 若有 $j_y, j_z$ 将会由积累的 $E_z$ 调整回来. 到终态. (导体接在x回路上)

用 $\sigma, \mu$  (迁移率) 表征载流子. 1, 2.

▷ 求解电流场.

不是要考察单个粒子的运动, 而是统计意义下宏观规律的展现.

$$j = \sigma_1(E_x + v_{1y}B) + \sigma_2(E_x + v_{2y}B) = \sigma E_x$$

$$\frac{v_1}{\mu_1} = \vec{E} + \vec{v}_1 \times \vec{B}$$

$$\frac{v_2}{\mu_2} = \vec{E} + \vec{v}_2 \times \vec{B}$$

$$j_y = 0 \text{ 即 } \sigma_1(E_y - v_{1x}B) + \sigma_2(E_y - v_{2x}B) = 0$$

$$\sigma \approx \sigma_1 + \sigma_2 - \frac{\sigma_1 \sigma_2}{\sigma_1 + \sigma_2} (\mu_2 - \mu_1)^2 B^2$$

> 伦敦方程: 描述超导体

(与正常电子直接叠加)

$$\begin{cases} \nabla \times \vec{j}_s = -\frac{n_s e^2}{m_s} \vec{B} \\ \frac{\partial \vec{j}_s}{\partial t} = \frac{n_s e^2}{m_s} \vec{E} \\ (\vec{j}_s = -\frac{n_s e^2}{m_s} \vec{A}) \end{cases}$$

i) 零电阻  $\frac{\partial \vec{j}_s}{\partial t} = 0$  定常流  $\Rightarrow \vec{E} = 0, R = 0$

ii) 迈斯纳效应(抗磁)

$$\text{Maxwell } \nabla \times \vec{B} = \mu_0 \vec{j}_s \text{ 代入 } \nabla^2 \vec{B} = \frac{\mu_0 n_s e^2}{m_s} \vec{B}$$

$$\Rightarrow B = B_0 e^{-\lambda} \hat{x}$$

$$\lambda \leftarrow \leftarrow B_0 \text{ 穿透深度 } \lambda = \sqrt{\frac{m_s}{\mu_0 n_s e^2}}$$

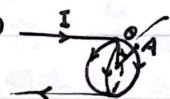
### △ 磁场相关

> 已知I分布求B的, 一种是毕萨, 如果毕萨很明显不可实施, 一定要去寻找环路. 环路无非是利用对称性. 常见的便是平移和旋转的对称. 各举一例说明:

求B可以



③ 无限球壳 求A处内外的B.



$$B = B_{in} + B_{球} \quad B_{in} \text{ 为上下半球产生的.}$$



▷ 注意: 安培环路定理适用于实际的全电流产生的 $\vec{B}$ , 而非电流元!

> 注意有时感应电动势是动生和感生

皆有的. 如  $\frac{I}{x} \vec{v} \rightarrow$  (动体后与磁场会改变)

请使用法拉第感应定律  $\frac{d\phi}{dt}$ . 如上面例子里实际上

增加了无穷远处一平行双导线间不能通.

构造公式(再减去): I.

II.



> 求表面磁力:

$$F = \vec{j} \times \vec{B} \quad \vec{B} = \frac{\vec{B}_{in} + \vec{B}_{外}}{2}$$

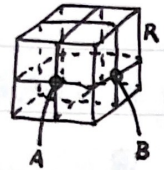
$$\text{虚功 } F \cdot d\vec{r} = \left( \frac{B_{in}^2}{2\mu_0} - \frac{B_{外}^2}{2\mu_0} \right) dS dr$$

(类似于“电压相减”里的“勾搭”)

### △ 电阻网络：经典

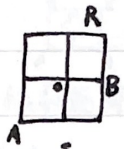
- 常用手段
- a. 对称性 (等势, 对折, 拆台, 中性面...)
  - b. 叠加原理  $\left\{ \begin{array}{l} \text{电流 (电流分布法 / U)} \\ \text{电源 (及戴维宁)} \end{array} \right.$
  - c. 基尔霍夫  $\left\{ \begin{array}{l} \text{有限} \\ \text{无限 (数列)} \end{array} \right.$
  - e. Y-△变换
  - d. 自相似 (迭代, 成比例)

Ex



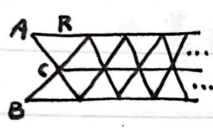
$$R_{AB} \Rightarrow \frac{24}{35} R$$

Ex



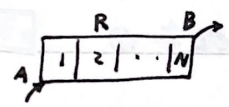
$$R_{AB} \Rightarrow \frac{29}{24} R$$

Ex



$$R_{AC} \Rightarrow \frac{2\sqrt{6} + \sqrt{3} - 3}{6} R$$

Ex



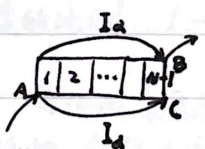
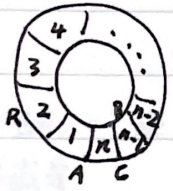
I.

求  $R_{AB} = ?$

主要展示一下数列边界条件的定义。

T2C3

II.



$$\left. \begin{array}{l} I_i + h_i = I_{i+1} \\ I_i - I_i \quad I_i + h_{i-1} = I - I_i + h_i \end{array} \right\} \Rightarrow I_i = \frac{I}{2} + A(2+\sqrt{3})^i + B(2-\sqrt{3})^i$$

I. 由始末二格  $\rightarrow$   $I_0 = 0, I_{N+1} = I$

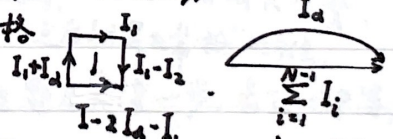
或有对称性  $k$  格  $\sim N+1-k$  格  $I - I_k = I_{N+1-k}$

$$II. I_i = \frac{I - 2I_d}{2} + A(2+\sqrt{3})^i + B(2-\sqrt{3})^i$$

(R/2) (对称性)

对称性得  $B = -A(2+\sqrt{3})^N$

始末二格



提一下, 这类有限杂网络处理时,

任意设法的挑选, 若不关心内部, 可以Y-△;

若网络较简, 可以设支路电流或回路电流  $I_i$

(及感生网络) 而且在处理  $I_1, I_2$  的“T”形表达上

方便; 但若网络“+”形多而未知结点少 (即

“齐头并进”形  $\left. \begin{array}{l} \text{可以设结点电势 } U_i \\ \text{解电流 } \Sigma=0 / \text{电量 } \Sigma=0 \end{array} \right\}$

$$I_i = I \left( \frac{1}{2N} + \frac{\lambda^i - \lambda^{N-i}}{2(\lambda^N - 1)} \right) \quad \lambda = 2 + \sqrt{3}$$

$$R_{AB} = \left( \frac{2N-1}{N} + \frac{\lambda - \lambda^{N-1}}{2(\lambda^N - 1)} \right) R$$

### △ 电阻网络：板

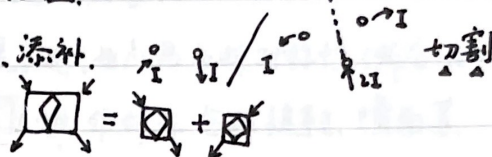
“板”是一种思想：一份电流在网络各端口产生一定的电势差，总的即线性叠加。

★ 叠加原理：目标：套基本形，造对称性。

★ “Y”式，“X”式非常常用！

从I着手，算的是U。正用→电流分组，添补。

逆用→代表：



> 板组：① 标点、分层、分析序对称和面对称。

② 设电流  $I_1, I_2, \dots$  节点电流  $\sum I = 0$  + 对称性，把未知I降到最少 (0 or 1个?)

③ 基本形 可能需要叠加原理，切割等互相推一推。

得到如  $\frac{R_2}{2}$   $\frac{R_1}{2}$   $\frac{R_2}{2}$  图。

④ 走路。

对要考察段的电势差，建议在脑中叠加dU的各式算。

有时可能需要等压关系 (两条不同的路) 解出  $I_x$  和最终的U, R.

> 自相似：★ 线度的比例  $l \rightarrow \lambda l$ ,  $r \rightarrow \lambda r$ ,  $\varepsilon \rightarrow \lambda^2 \varepsilon$ .  
分形/嵌套  $I \rightarrow \lambda I$ ,  $P \rightarrow \lambda^3 P$ .

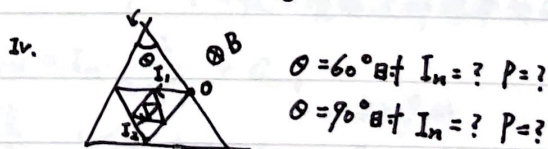
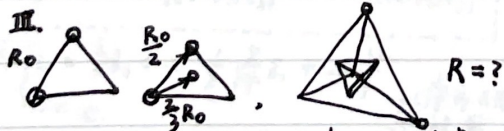
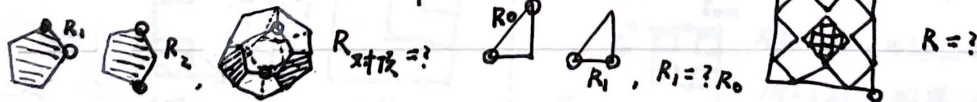
电路板看厚度是否随  $\lambda$  变.  $\frac{\rho l}{hd}$  若d不变则R不变

首先一定是对称性，判断电流情况，先设对.  $d \rightarrow \lambda d$  则  $R \rightarrow \frac{R}{\lambda}$ .

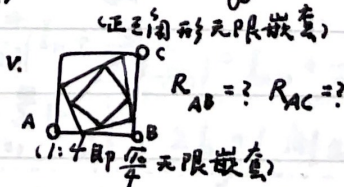
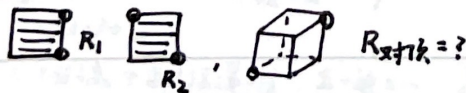
中性面，切割. 之后就是“正常板”的法。

▷ 如果是五个端口，推荐三端等效：很可能题目更深一步，求  $I_n$ , 求P等；需要寻找通推关系。(一般都是五端题)

Check: I. (五边形的十=面体) II.

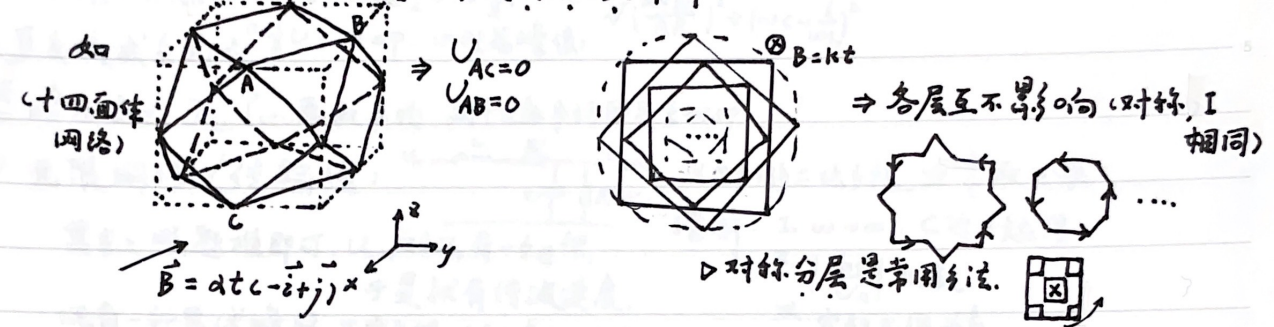


I'. (I. 简版) (中心无限嵌套正四面体)



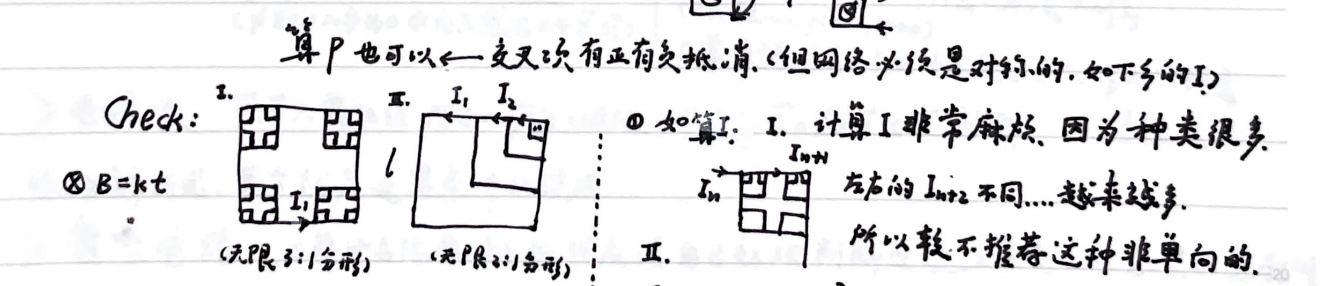
△ 电阻网络: 磁场  
 (如果B还匀变, 则  $\varepsilon = \varepsilon_1 + \varepsilon_2$ , 其中  $\varepsilon_1 = Blv$ ,  $\varepsilon_2 = K\dot{\Phi}$ , 建议与基尔霍夫一起) 一旦不止单边进入, 最好到基尔霍夫  
 > 进出磁场: 核心就是总等效:  $\varepsilon = Blv$ ,  $F = BIl$ ,  $R_{\Sigma}$   
 剩下的就是求电阻和求和, 积名的事了.

考试不会算很困难的基尔霍夫, 即使是多边, 也应先分析对称性(拆分)再做计算.  
 > 匀变感生: 同样, 也应首先寻找对称性作拆分, 包括旋转, 镜面等.



(拆分后) 不对称的网络(或部分在磁场中运动, 产生一个具体的电源) 往往进行具体的计算, 利用回路解出电流(基尔霍夫)以及一些“连定向”之类的技巧.

▷ 注意, 问  $U_{AB} = \varepsilon_{AB} - I_{AB} \cdot r_{AB}$ . 如果接入电压表, 则是要考察整个测量回路:  
 $U = \varepsilon_{感} - Ir$   
 还有一大类是自相似. 最重要的仍是线度的比例(指  $\otimes$  和  $\odot$ )  
 分形常用方法: 算  $\varepsilon \cdot I$  可以看成别人回流进来搞的 + 小的自己产的(比例) (大的)  
 注意两侧影响的 I 电流方向是相反的! 每次最好比划一下



如算  $\varepsilon \cdot I$ :  

$$U = \frac{1}{3}I_1 + 2 \cdot \frac{1}{3} \frac{5}{14} I_1 + 2 \cdot \frac{U}{9}$$

$$U = \frac{1}{2}I_1 + I_1 \cdot \frac{\sqrt{2}}{2+\sqrt{2}} \cdot \frac{1}{2} + \frac{U}{7}$$

$$\frac{1}{2} = U + I_1$$

$$I_{n+1} = I_n \cdot \frac{2}{2+\sqrt{2}} + a_{n+1}$$

$$(2-\sqrt{2}) \left( I_n + \frac{I_1}{2^n (\frac{3}{2}-\sqrt{2})} \right) = I_{n+1} + \frac{I_1}{2^n (\frac{1}{2}-\sqrt{2})}$$

$$2 \cdot \sum_{i=1}^{\infty} I_i \cdot \frac{1}{2^i} + 2I_1 = 1$$
 解出  $I_1, I_n$ .

★ I法: (分流+自产) I递推,  $\Sigma$ -边=... 总回路  
 ★ E法(较推荐): 设出电势降, 往下推一个  $I_1$ .  
 附: 还有一种非匀强B产生的感生电场E, 求法:  $\oint \vec{E} \cdot d\vec{l} = \int -\frac{\partial \vec{B}}{\partial t} \cdot \vec{dS}$  把  $-\frac{1}{\mu_0} \frac{\partial \vec{B}}{\partial t}$  视为  $\vec{j}$ .  
 $\oint \vec{B} \cdot d\vec{l} = \mu_0 \int \vec{j} \cdot \vec{dS}$  用双叉的电流场和南考虑B(即E).  
 但第一次后应该还是  $\varepsilon = \frac{d\Phi}{dt}$ .  
 \* 注意也有  $\vec{B}_1 + \vec{B}_2 = \vec{B}$ ,  $\vec{E}_1 + \vec{E}_2 = \vec{E}$  叠加原理!

## △ 交流电路

> 计算复阻抗: ① 分子分母都是带j的加减, 可以分母实化 ②  $z^*$  即将j改-j相乘.

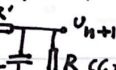
③  $e^{j\omega t}$  视角, 特别是  $\frac{a+jb}{a-jb}$  型的. ( $e^{j\omega t}$  欧拉展开)

④ 单纯的串联可以直接写倒数式  $\frac{1}{z} = \frac{1}{R} + \frac{1}{j\omega L} - \frac{1}{j\omega C}$ . 利用  $|z| = \frac{1}{|z|}$  倒数.

还有一个是算功率.  $P = \frac{1}{2} \operatorname{Re}(U^* I) = \frac{1}{2} U^2 \operatorname{Re}(\frac{1}{z})$   $|z| = \frac{1}{\sqrt{(\frac{R+R_L}{R R_L})^2 + (\omega C - \frac{1}{\omega L})^2}}$

▷ 在直交流成分都有  $\frac{1}{2} U I \cos \alpha \varphi$ . (此处指峰值)

时, 建议写出  $\tilde{U}(t), \tilde{I}(t)$ , 再取平均. 两个三角平均即是  $\frac{1}{2} \cos \alpha \varphi$ .

> 无限网络/传输线:   $U_{n+1}$  设出方程=二次方程, 常取正根!

基本上照题推即可.  $U_{n+1}$  对  $U_n$  有一个  $e^{j\omega}$ .

于是就有传播速度.

还有一种是试探解. 不要多想, 解出来的一总是对的.

关心  $\sqrt{\quad}$  正负, 存在振荡(阻尼)解.

理解: I.  $\omega \rightarrow \infty$ . C 近乎短路

II.  $|\frac{U_{n+1}}{U_n}|$  收敛

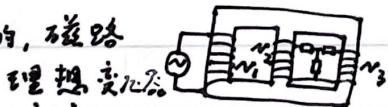
III. 实部不许为负.

> 互感/变压器: 最本质的一点是列回路方程. 如  $\begin{cases} E_1 = L_1 i_1 + M i_2 & \text{输入} \\ E_2 = L_2 i_2 + M i_1 & \text{输出} \end{cases}$  若2开路  $I_2=0$ .  $E_2 \sim I_2$  输出部关系  $E_2 = E_1 \frac{M}{L_1}$

但有时我们会提出“理想变压器”的概念, 包括  $M^2 = L_1 L_2$ ,  $\frac{L_1}{L_2} = \frac{N_1^2}{N_2^2}$ ;  $R_1 = R_2 = 0$ ;  $Z \ll Z_1, Z_2, Z_M$ .

这样解得的答案可以化为常见的比值结论, 也可以直接从一些原理出发推导, 见下面.

▷ 复杂一些的, 磁路



( $\phi$  即  $H$  几乎为0  $\leftarrow$  自互感远大于  $Z_1, Z_2$ )

★ 节点  $\leftrightarrow$  磁通  $\frac{\tilde{U}_1}{N_1} = \frac{\tilde{U}_2}{N_2} + \frac{\tilde{U}_3}{N_3}$

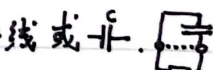
回路  $\leftrightarrow$   $\oint H dl = \sum I = 0$   $N_1 \tilde{I}_1 = N_2 \tilde{I}_2 = N_3 \tilde{I}_3$   
(磁阻  $\rightarrow 0, M \rightarrow \infty, H \rightarrow 0$ )

正常电路关系, [ $N_1$ 处回路] [ $N_2, N_3$ 处回路]

> 电磁波:  $\vec{E}, \vec{H}$  只需记住  $\sqrt{\epsilon} E = \sqrt{\mu} H$  (同相), 方向由  $\vec{S} = \vec{E} \times \vec{H} \propto \vec{r}$  判断. ( $S = \frac{1}{2} E_m H_m$ )

设好解析式, 其余就是边界条件的使用.

> 暂态电路: 不要过多依赖解析, 还应该自己直观判断过程. 尤其是二极管混在里面时

电流一般可以瞬变:  电压判断就不要走这种路, 尽量走纯导线或  $\pi$ .

电感支路上电流不用瞬变, 电容上电量(电压)不用瞬变. 用这些判断初态.

还有一种是交替暂态, 需要设出  $I'_{(0)}, I''_{(0)}$ , 解好1,2过程后再通过一些关联, 如上面的  $I'_{R(0)} = I''_{R(T)}$ ,  $I''_{R(0)} = I'_{R(T)}$  解出来.

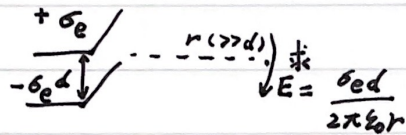
### 磁荷

适用条件: 单连通域, 无传导电流. 电荷分布  $\iff$  磁荷分布  $\iff$  电流分布  
 单纯磁化问题见“电介质相关(2)” 电极化 磁化 ② 无电流环  
 (J =  $\mu_0 \vec{M}$  磁极化)

Ex 叶电三例:



求吸引力  $F = \mu_0 M^2 S$



求  $E = \frac{\sigma_e d}{2\pi \epsilon_0 r}$



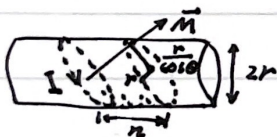
两圆弧导体片带电. y轴±b处十分靠近. x轴±b处  $E_b$  已知.

求导体片间电势差

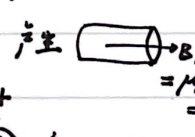
$$U_{ac} = \int_a^c \frac{2E_b}{1 + (\frac{z}{b})^2} dz = 2bE_b \operatorname{tg}^{-1} \frac{b(c-a)}{b^2+ac}$$

Ex 斜绕螺线管: n为单位长度匝数.

#### I. 椭圆圆环

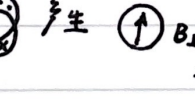
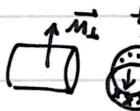


分解  $(\rightarrow I)$  前进电流



$$B_{\parallel} = \mu_0 (M_{\parallel} + I)$$

$$= \mu_0 M_{\parallel}$$



$$B_{\perp} = \mu_0 (M_{\perp} + I)$$

$$= \mu_0 \frac{M_{\perp}}{2}$$

外部类似.

#### II. 等距螺线 (始终与x'向夹alpha角)

(j为面密度  $I n_{\perp}$ )



分解 (dl' 的分解性质?)



分别产生  $B_{\perp}, B_{\parallel}$ .

△电阻网络:磁场(2)